

# 1 บทนำ

## 1.1 บทนำต้นเรื่อง

*Vibrio parahaemolyticus* เป็นแบคทีเรียแกรมลบ รูปแท่ง มีแหล่งธรรมชาติในน้ำทะเลและน้ำกร่อย แยกได้จากน้ำทะเลทั่วโลก พบได้ในกุ้ง หอย ปลา และปูหลายชนิด เป็นแบคทีเรียที่ต้องการเกลือในการเจริญเติบโต (halophile) เป็นสาเหตุสำคัญที่ก่อโรคลำไส้อักเสบในประเทศต่างๆ ทั่วโลก โดยเฉพาะประเทศที่นิยมรับประทานอาหารดิบหรือปรุงแบบสุกๆ ดิบๆ รายงานจากประเทศญี่ปุ่น จีน ไต้หวัน อินเดีย และหลายๆ ประเทศทางเอเชียรวมทั้งอเมริกาพบว่ามีมากกว่า 50% ของโรคอาหารเป็นพิษมีสาเหตุจากเชื้อ *V. parahaemolyticus* และนอกจากนี้ยังมีรายงานว่า เชื้อนี้เป็นสาเหตุของการติดเชื้อทางบาดแผล 34 % และการติดเชื้อในกระแสโลหิต 5 % (<http://webdb.dmsc.moph.go.th>) เชื้อ *V. parahaemolyticus* บางสายพันธุ์เท่านั้นที่ก่อโรค สายพันธุ์ที่ก่อโรคเมื่อนำมาเลี้ยงบนอาหารชนิดพิเศษที่เติมเลือดชื่อ Wagatsuma agar สามารถทำให้เกิดการย่อยสลายเม็ดเลือดแดงแบบสมบูรณ์ ( $\beta$ -hemolysis) เรียกปรากฏการณ์นี้ว่า Kanagawa phenomenon (KP) ทั้งนี้เนื่องจากเชื้อสามารถผลิตสารพิษชนิดทนความร้อน เรียกว่า thermostable direct hemolysin (TDH) ซึ่งเป็นปัจจัยสำคัญในการก่อโรคอาหารเป็นพิษหรือทางเดินอาหารอักเสบ จึงใช้การทดสอบ KP เป็น virulence marker สำหรับตรวจสายพันธุ์ *V. parahaemolyticus* สายพันธุ์ที่ก่อโรค การสร้าง TDH ถูกควบคุมโดยจีน *tdh* ซึ่งส่วนใหญ่พบในสายพันธุ์ที่แยกได้จากผู้ป่วย แต่พบเพียงส่วนน้อยในสายพันธุ์ที่แยกได้จากสิ่งแวดล้อม (Miyamoto *et al.*, 1969; Iida and Yamamoto, 1990) ต่อมาพบ hemolysin ชนิดใหม่จากสายพันธุ์ที่แยกได้จากผู้ป่วยซึ่งไม่สามารถย่อยสลายเม็ดเลือดแดงแบบสมบูรณ์บน Wagatsuma agar จากการศึกษาพบว่า สายพันธุ์ดังกล่าวสามารถสร้าง thermostable direct hemolysin related hemolysin (TRH) ซึ่งเป็นปัจจัยสำคัญในการก่อโรคเช่นกัน โดยจะมีคุณสมบัติทางชีววิทยา ภูมิคุ้มกันวิทยาและทางฟิสิกส์คล้าย TDH (Honda *et al.*, 1988; Nishibuchi *et al.*, 1989) จากการศึกษาพบว่าการสร้าง TRH ถูกควบคุมโดยจีน *trh* (Nishibuchi *et al.*, 1989)

*V. parahaemolyticus* แบ่งเป็นซีโรทัยป์ตามชนิดของ O และ K antigen โดยแบ่งเป็น O antigen (แอนติเจนที่ผนังเซลล์) 13 ชนิด และ K antigen (แอนติเจนที่แคปซูล) 71 ชนิด จากการศึกษาการระบาดของเชื้อ ในอดีตพบว่าเกิดจากเชื้อหลายซีโรทัยป์ แต่ในปี ค.ศ. 1996 เกิดการระบาดใหญ่ ที่เมือง Calcutta ประเทศอินเดีย จากเชื้อ *V. parahaemolyticus* ของสายพันธุ์ O3:K6

และเกิดการระบาดไปสู่ ประเทศต่างๆทั้ ทั่วโลกเช่น เกาหลี ญี่ปุ่น จีน อเมริกา รวมทั้ง ประเทศไทย (Okuda *et al.*, 1997; Chiou *et al.*, 2000; Vuddhakul *et al.*, 2000) ต่อมามีรายงานถึง ingsiroty ย์ O4:K68 O1:KUT (untypeable) O1:K25 O1:K41 และ O4:K12 ระบาดร่วมกับ O3:K6 ด้วย จากการศึกษาดูโดยการตรวจจีโนม *toxRS* พบว่า สายพันธุ์ดังกล่าวมาจากแหล่งกำเนิดเดียวกัน และต่างจาก *V. parahaemolyticus* สายพันธุ์ที่พบก่อนปี ค.ศ. 1996 (Matsuda, 2000; Wong *et al.*, 2000) ดังนั้น การศึกษาลักษณะ *parahaemolyticus* สายพันธุ์ที่แยกจากผู้ป่วยจึงมีความสำคัญในการอธิบายถึง ระบาดวิทยาของ *parahaemolyticus* ซึ่งจะเป็นประโยชน์ต่อการเฝ้าระวังเชื้อนี้ในอนาคต

## 1.2 บทตรวจเอกสาร

### 1.2.1 สกุล *Vibrio*

สกุล *Vibrio* จัดอยู่ในวงศ์ Vibrionaceae ซึ่งประกอบด้วย 4 สกุลคือ *Photobacterium*, *Plesiomonas* และ *Vibrio* ซึ่งในสกุล *Vibrio* มีมากกว่า 172 ชนิด สายพันธุ์ที่สำคัญที่มีความสำคัญทางการแพทย์ ทำให้เกิดโรคในคนคือ *V. cholerae*, *V. mimicus*, *V. fluvialis*, *V. parahaemolyticus*, *V. alginolyticus*, *V. vulnificus*, *V. furnissii*, *V. metschnikovii*, *V. cincinnatiensis* และ *V. carchariae* มี 3 สายพันธุ์ที่เป็นสาเหตุใหญ่ ซึ่งทำให้เกิดโรคในคนคือ *V. parahaemolyticus* และ *V. vulnificus* (Farmer et al., 1985; Balows et al., 1992; Tarr et al., 2007)

แบคทีเรียสกุล *Vibrio* มีรูปร่างเป็นแท่ง ลักษณะเป็นท่อนตรงหรือโค้งงอ หัวท้ายมนแบบ comma-shaped มีขนาดกว้าง 0.5-0.8  $\mu\text{m}$  ยาว 1.4-2.6  $\mu\text{m}$  ติดสีแกรมลบ ไม่มีสปอร์ หรือ microcyst หลายสายพันธุ์เคลื่อนที่โดยใช้ polar flagella หนึ่งหรือสองแท่งที่ขั้ว แต่เมื่อเจริญในอาหารแข็งสามารถสร้าง peritrichous flagella ได้ เจริญได้ทั้งในสภาวะที่มีหรือไม่มีออกซิเจน (facultative anaerobe) ใช้ น้ำตาลกลูโคสเป็นแหล่งคาร์บอนและพลังงานโดยมีไนโตรเจนเป็นแหล่งไนโตรเจน ซึ่งในสกุล *Vibrio* สามารถสร้างเอนไซม์หลักๆ ออกภายนอกเซลล์ (exoenzyme) ได้หลายชนิด เช่น gelatinase, amylase, chitinase และ DNase (Seph et al., 1982) ให้ผลบวกกับการทดสอบ oxidase ยกเว้น *V. metschnikovii* (Baumann and Schubert, 1984) ซึ่งสายพันธุ์ที่เป็นสาเหตุใหญ่ ซึ่งทำให้เกิดโรคในคนคือ *V. cholerae*, *V. parahaemolyticus* และ *V. vulnificus* ให้ผลบวกกับการทดสอบ lysine decarboxylase และ ornithine decarboxylase แต่ให้ผลลบกับการทดสอบ arginine dihydrolase คุณสมบัติที่สำคัญอีกประการหนึ่งคือ จะไวต่อการทดสอบ O/129 (2,4-diamino-6,7-di-isopropylpteridine) *Vibrio* สามารถหมักน้ำตาลกลูโคสให้กรดแต่ไม่ให้แก๊ส โดยทั่วไปสามารถสร้าง indole และ catalase สามารถย่อยโปรตีนในไนโตรที่ ได้ ซึ่งในสกุลนี้ จะให้ผลการทดสอบทางชีวเคมีต่างๆ (ตารางที่ 1.1) ซึ่งบางสายพันธุ์ขึ้นกับโมเลกุลจากการศึกษาทางชีวโมเลกุลพบว่า *Vibrio* ที่ทำให้เกิดโรคในคนมีปริมาณ guanine รวมกับ cytosine (ค่า G+C content) ของดีเอ็นเอเท่ากับ 39-51 mol % (Ripabelli et al., 1997) ซึ่งจะถูกทำลายเมื่อต้มที่ 56 องศาเซลเซียส นาน 30 นาที เจริญได้ใน 0 องศาเซลเซียส ซึ่งสายพันธุ์ที่ทำให้เกิดโรคในคนเจริญได้ดีที่ อุณหภูมิ 37 องศาเซลเซียส ส่วนในน้ำทะเล เจริญได้ที่ อุณหภูมิ 10-15 องศาเซลเซียส ซึ่งสามารถเจริญได้ดีในสภาวะที่มีเกลือไฮโดรไลต์ (halophile) โดยสายพันธุ์ที่ทำให้เกิดโรคในคนต้องมีการเกลือไฮเดียมคลอไรด์ ที่เหมาะสมซึ่ง *Vibrio* เจริญได้ดีในสภาวะที่เป็นกลางและด่างถึง pH 9.0 ซึ่งนี้ไม่เหมือนกับสายพันธุ์อื่นชนิด







และ *V. cincinnatiensis* (ตารางที่ 1.2) การติดเชื้อในกระแสโลหิต เกิดขึ้นเองจากเชื้อแบคทีเรียในลำไส้ใหญ่ จากทางเดินอาหารไปตับหรือเยื่อหุ้มหัวใจของลำไส้ ผู้ป่วยมีอาการไข้ ความดันต่ำ อ่อนแรง หัวใจล้มเหลว คลื่นไส้ ท้องเสีย และอาเจียนร่วมด้วยเสมอ (Tack *et al.*, 1984) ผู้ป่วยที่ติดเชื้อในกระแสโลหิต มากกว่า 70% จะมีตุ่มน้ำพองใสที่ผิวหนังบริเวณปลายแขน-ขา เนื่องจากมีแอนติเจนที่ติดอยู่ติดอยู่ที่พบได้บ่อยที่สุดคือ *V. vulnificus* เนื่องจากเชื้ออสรพิษสารพิษได้หลายตัว มีโพลีแซคคาไรด์แคปซูลสามารถใช้เหล็กในรูป transferrin (Keelan, 2001)

ตารางที่ 1.2 อาการทางคลินิกที่เกิดจากการติดเชื้อในสกุล

เชื้อสาย	อาการทางคลินิก		
	ติดเชื้อในกระแสโลหิต	ลำไส้อักเสบ	ติดเชื้อทางบาดแผล
<i>V. cholerae</i> O1	*	+++	+
<i>V. cholerae</i> non-O1	+	+++	++
<i>V. parahaemolyticus</i>	+	+++	++
<i>V. vulnificus</i>	+++	++	+++
<i>V. fluvialis</i>	*	++	*
<i>V. alginolyticus</i>	+	*	+++
<i>V. furnissii</i>	*	+	*
<i>V. mimicus</i>	*	++	++
<i>V. metschnikovii</i>	+	+	*
<i>V. cincinnatiensis</i>	+	*	*

+++ = มีการรายงานบ่อยครั้ง    ++ = มีการรายงานน้อย    + = มีการรายงานน้อยมาก

\* = มีอาการทางคลินิกไม่ชัดเจน

: ที่มา : West (1989)

จากการศึกษาระบาดของพิษของเชื้อ *Vibrio* พบว่าคนที่สุขภาพดีเมื่อได้รับเชื้อมีโอกาสอย่างมากที่จะติดเชื้อในกระแสเลือด กลุ่มนี้ยังอาจเป็นผู้ช่วยโรคติดต่อเบาหวาน มะเร็ง การติดเชื้อในกระแสเลือดมีโอกาสเกิดขึ้นในวัยชราและมีภูมิคุ้มกันแข็งแรงและมีโอกาส

เสียชีวิตมากกว่า 150% ดังนั้นเมื่อมีบาดแผลที่ผิวหนังหรือที่ผิวหนังทะเล และสัตว์ทะเลหรือสัตว์น้ำที่มีสัตว์น้ำบริเวณที่สัมผัสทุกครั้งซึ่งทำให้โรคที่ติดต่อกับน้ำแข็งแรงและไม่แข็งแรงเชื้อที่ทำให้เกิดอาการรุนแรงรวดเร็วและโรครุนแรงของโรครุนแรงที่มีการอักเสบของเนื้อเยื่อได้มีผู้พบในและหลังจากนั้นจะมีการตายของเนื้อเยื่อตามมาด้วยการติดเชื้อในกระแสเลือดอันเนื่องมาจาก *V. cholerae* non-O1 *V. parahaemolyticus* และ *V. alginolyticus* อาการจะรุนแรงน้อยกว่า (Johnson *et al.*, 1984; Levine and Griffin, 1993; Strom and Paranjpye, 2000; Collier, 2002)

การติดเชื้อทางบาดแผลส่วนใหญ่จะมีรายงานจากบริเวณชายฝั่งทะเลแถบแปซิฟิกของสหรัฐอเมริกา และมีรายงานในประเทศเดนมาร์กเยอรมันสวีเดนและเนเธอร์แลนด์ แต่ไม่เคยมีรายงานจากแถบเมดิเตอร์เรเนียนอาจเป็นไปได้ว่าน้ำทะเลแถบนี้มีความเข้มข้นของโซเดียมคลอไรด์ที่สูงจึงมีปริมาณน้อย (Arias *et al.*, 1999; Feldhusen, 2000)

ที่ประเทศฮ่องกงได้มีการศึกษาการปนเปื้อนของเชื้อจากอาหารทะเลที่จำหน่ายในตลาดพบว่าสามารถแยกเชื้อ *V. alginolyticus* ได้มากที่สุด รองลงมาคือ *V. parahaemolyticus* *V. harveyi* *V. fluvialis* *V. vulnificus* ตามลำดับ (Chan *et al.*, 1989) ในประเทศออสเตรเลียสามารถแยกเชื้อ *Vibrio* ได้จากน้ำตะกอนพืชและอุจจาระจากแถบชายฝั่งแม่น้ำ 18 แห่งในภาคตะวันออกเฉียงใต้ของรัฐควีนแลนด์ เชื้อที่พบได้แก่ *V. fluvialis* และ *Aeromonas* spp. (Myatt and Davis, 1989) ที่ประเทศสหรัฐอเมริกาในปี 1989 จากการศึกษารายชื่อของ Lowy และคณะพบว่า หอยนางรมดิบ 100% ปนเปื้อนด้วย *V. parahaemolyticus* และ 67% ปนเปื้อนด้วย *V. vulnificus* แต่ในหอยนางรมจากชายฝั่งทะเลประเทศบราซิลพบเชื้อ *alginolyticus* (81%) *V. parahaemolyticus* (77%) *V. cholerae* non-O1 (37%) *V. fluvialis* (27%) *V. furnissii* (19%) และ *V. vulnificus* (12%) (Oliver and Kaper, 1997) ที่ประเทศอิตาลีในปี ค.ศ. 2000 Baffone และคณะได้ตรวจแยกเชื้อ *Vibrio* ในอาหารทะเลจากทะเล Adriatic พบเชื้อ *alginolyticus* (81.48%) มากที่สุด รองลงมาคือ *V. parahaemolyticus* (14.8%) และ *V. cholerae* non-O1 (3.7%) นอกจากนี้ยังได้ทำการศึกษาในกุ้งทะเลพบว่า 30% ของจำนวนตัวอย่างทั้งหมด 129 ตัวอย่างมีเชื้อ *V. parahaemolyticus* *V. vulnificus* *V. metschnikovii* *V. cholerae* non-O1 และ *V. fluvialis* ในประเทศฝรั่งเศสจากการศึกษา *Vibrio* ในหอยและน้ำทะเลระหว่างเดือนกรกฎาคมถึงธันวาคมปี ค.ศ. 1999 พบเชื้อ *alginolyticus* มากที่สุด รองลงมาคือ *V. parahaemolyticus* *V. vulnificus* และ *V. cholerae* non-O1/non-O139 ตามลำดับ (Hervio-Heath *et al.*, 2002) การติดเชื้อ *Vibrio* ส่วนใหญ่เกิดจากการรับประทานอาหารทะเลดิบในประเทศ



สหรัฐ อเมริกา ระหว่างปี ค.ศ. 1988-1997 ในรัฐแถบชายฝั่งทางตะวันออกเฉียงใต้ รัฐคือ Alabama, Florida, Louisiana และ Texas มีผู้ป่วยถึง 41 ราย อี กเสบอ นเนื้ องมาจากหอยที่ ำวน 236 คน (53%) จาก จำนวนผู้ ป่วยที่ ังหมด 445 คน โดยมีสาเหตุ มาจากการรั บประทานหอยเคิ บ (Altekruset *et al.*, 2000) ช่ วงพฤษภาคม – กรกฎาคม ค.ศ. 2006 ที่ รัฐนิวยอร์ก โอและวอชิงตัน ได้ มีรายงาน การติดเชื้อ *V. parahaemolyticus* จำนวน 177 ราย ซึ่ง มีสาเหตุ จากการรั บประทาน หอย กุ้ง และ ซึ่ง ึ่งมาจากแหล่ง ึ่งเดียว (DeBirt *et al.*, 2006) และได้ ทำ การตรวจหาเชื้อ อแบคทีเรียใน Norwegian Blue Mussels จำนวน 885 ตัว พบ *parahaemolyticus* สายพันธุ์ ที่ มีเฉพาะที่ 10.3% *V. cholerae* non-O1/non-O139 *ctx A* negative 1.0% และ *V. vulnificus* 0.1% (Bauer *et al.*, 2006) และรายงานจาก Waterborne disease and outbreak (WBDO) ของ Center for Disease Control (CDC) ซึ่ง เก็บ บั ้อมูลเกี่ ยวกับ ำเพื่ อการพั กหม่ ่อนหย้ ึ่งในแหล่งน้ำ ึ่งน้ ำในสวน สนุก (recreational water) โดยมีการรวบรวมข้อมูลจาก 62 แห่ง ที่ เกี่ ยวกับ WBDO ใน 26 รัฐ ของสหรัฐ อเมริกา พบว่า ำปี ค.ศ. 2003-2004 มีผู้ ป่วยจากั กการพั กหม่ ่อนหย้ ึ่งในสวน สนุก จำนวนนี้ 142 ราย ได้ รั บเชื้อ อจากหอย ึ่งว นใหญ่ เกิ ดจากเชื้อ *vulnificus* *V. alginolyticus* และ *V. parahaemolyticus* ผู้ ป่วยด้ ้องเข้ ำรั บการรั กษาที่ ำโรงพยาบาล พบว่า ำ 87.2% เกิ ดจากเชื้อ *vulnificus* และมีอ ำตราการตายจากเชื้อ ำนี้ ึ่ง 12.8% (DeWitt 2006) นอกจากนี้ ำยังได้ ทำ การศึกษาการกระจายของ *Vibrio* บริเวณชายฝั่ง ประเทศฝรั่งเศส ช่ วงหน้า ำร้อน อุณหภูมิ ำตั้งแต่ 19-22 องศาเซลเซียส โดยทำ การศึกษาปริ มาณเชื้อ อในหอย ในอหอย ึ่งดี (healthy oysters) จะ พบ *Vibrio* ในปริ มาณนี้ ำย ในขณะที ำหอยตายจะพบ *Vibrio* ในอหอย ึ่งดี และเนื้ อเยื่อ ำงๆ โดยพบเชื้อ อ *V. aestuarianus* (56%) ซึ่ง เป็ นสมาชิกในสกุล *V. parahaemolyticus* และ *Pseudoalteromonas* sp. (Garnier *et al.*, 2007)

ในประเทศไทยระหว่าง ำปี ค.ศ. 1980-1981 พบผู้ ป่วย 660 ราย จากการที่ ำองร่ วง ซึ่ง ึ่ง เกิ ดจากการติดเชื้อ *Shigella* 27% *V. parahaemolyticus* 19% *E. coli* 5% *Salmonella* spp. 3% *V. cholerae* non-O1 3% *Campylobacter jejuni* 1% และ *Vibrio* อื่น ๆ นี้ ำยกว่า ำ 1% (Echeverria, 1983) ในปี ค.ศ. 1999 มีรายงานการตรวจแยกเชื้อ *V. parahaemolyticus* ในอาหารทะเลสด ำออก จำนวน 686 ตัว วอย่ ำง ซึ่ง ึ่งมาจากอ ำงก อ น โคนีเซีย ไทย และพบเชื้อ *V. parahaemolyticus* สูง ถึง ำ 45.9% โดยส่ ำวนใหญ่ พบเชื้อ อในอ ำงที่ ำมาจากอ ำงทะเลสาบระเทศ ำวอย่ ำงที่ ำมาจาก อ น โคนีเซีย และเวียดนามมาก ซึ่ง ึ่งอ ำงที่ ำพบส่ ำวนใหญ่เป็ น และหอย (Wong *et al.*, 1999) นอกจากนี้ ในเดือนธันวาคมปี 1998 ถึง ำมกราคมปี 1999 ได้ มี การตรวจแยกเชื้อ *V. parahaemolyticus* จากอาหารทะเลสดที่ ำจำหน่ายในตลาดสดในอ ำเภอหาดใหญ่ ำสงขลา ำ จำนวน 114 ตัว วอย่ ำงแบ่ง เป็ น หอย 54 ตัว วอย่ ำงที่ ำง ำง 50 ตัว ำง 80 ตัว วอย่ ำงพบเชื้อ อ

*parahaemolyticus* จากหอย 51 ตัว วอย่ าง (94%) กุ้ง 25 ตัว วอย่ าง (83%) และปลา วอย่ าง (73%) โดยพบเชื้อ *parahaemolyticus* สายพันธุ์ ที่มีจีโนมสารพิษในตั วอย่ างหอย 2 ตัว วอย่ าง (Uddhakul *et al.*, 2000)

จากการสำรวจหาเชื้อ อแบคทีเรียก่อโรครอาหารเป็นพิษจากอาหารที่มี น้ ามัน ปริมาณบริโภคจากตลาดในเขตกรุงเทพมหานครและนนทบุรี จำนวน 100 ตัวอย่าง แบ่งเป็น กุ้ง 34 ตัวอย่าง ปลา 66 ตัวอย่าง ปลาดุก 100 ตัวอย่าง ซึ่งผลพบว่าตัวอย่างเพื่อตรวจหาความ เป็นกรด-ด่าง (พีเอช) เปอร์ เซ็นต์ ความเข้มข้นของเกลือในตัวอย่างในสกุล *Vibrio cholerae* และ *V. parahaemolyticus* พบว่า กุ้ง 4.02, 4.26, 4.79 และ 7.44 ตามลำดับ ขณะที่ ปลา 8.06, 8.75, 14.85 และ 15.23 ตามลำดับ ตัวอย่างทั้งหมดที่ ไม่พบ *Vibrio cholerae* O1 อาหารหมัก คองที่ น้ ามัน ปลา กุ้ง ปลา กุ้ง ตรวจพบเชื้อ *Vibrio parahaemolyticus* 8 ตัวอย่าง (2.67%) โดยพบ มากในตั วอย่ างปลาดุก 6 ตัวอย่าง และ ปลา กุ้ง 2 ตัวอย่าง (<http://walsdb.dmhc.moph.go.th>)

### 1.2.1.3 การตรวจทางห้องปฏิบัติการ

เชื้อ อในสกุล *Vibrio* สามารถเจริญบน nutrient agar ที่มีเกลือ 0.5% โดยที่ วัฏจักรโคโล นีมีลักษณะกลมมน ขอบเรียบ สีครีม ขนาดเส้นผ่าศูนย์กลาง 2-5 มม. ผลิตเบาะเชื้อ อสายพันธุ์ *alginolyticus* และ *V. parahaemolyticus* โคโลนีมีลักษณะแผ่ (swarm) *Vibrio* สามารถเจริญได้ใน สภาวะที่มีระดับของเกลือ อนุ าคีสูงและเจริญได้ดีในภาวะที่ มีเบาะเชื้อ อ selective pre-enrichment โดยนำเชื้อ อลงใน selective media คู่ที่ กษณะเป็น และบ่งชี้ เชื้อ อในสกุล จะ อาศัย ความแตกต่าง ของปฏิ กิริ ยาเคมี และเทคนิค ทางชีวโมเลกุล ที่ ใช้ ในการแยกเชื้อ อ และบ่งชี้ *V. cholerae*, *V. parahaemolyticus* และ *V. vulnificus* (ISO method 8914, 1990; FDA, 1998) ใช้ selective enrichment medium APW (alkaline peptone water) ซึ่งมีเกลือ 0.5-2% เพื่อ ส่งเสริมการเจริญและบ่มเพาะที่ อุณหภูมิ ที่ เหมาะสมจากนั้น นำเชื้อ อที่ อกคือ thiosulphate citrate bile-salt sucrose (TCBS) agar ซึ่งสามารถแยกเชื้อ อตามคุณสมบัติ การหมัก อนุ าคตาลูโครสได้ เป็น 2 กลุ่ม คือ กลุ่มที่ สามารถหมัก กลูโคสได้ และกลุ่มที่ อกคือ *cincinnatiensis*, *V. metschnikovii*, *V. cholerae*, *V. alginolyticus*, *V. fluvialis*, *V. furnissii* และ *V. carchariae* ส่วนกลุ่มที่ ไม่สามารถหมัก อนุ าคตาลูโครส โคโลนีจะมีสีเขียวได้แก่ *parahaemolyticus*, *V. mimicus* และ *V. vulnificus* (Baumann and Schubert 1984; Balow *et al.*, 1992; Serratore *et al.* 1999; Kong *et al.* 2002) ต่อจากนั้น ทำการทดสอบต่างๆ เช่น ย้อม Gram stain, motility, oxidase, arginine dihydrolase, lysine decarboxylase, ortho-nitrophenyl-galactopyranoside (ONPG) การใช้ อนุ าคตาลู glucose, saccharose และ cellobiose (Baumann and

Schubert, 1984; Serratore *et al.*, 1999; Kong *et al.*, 2002) เชื้อ *Vibrio* หลายเชื้อ อสายถูกแยกโดยใช้ อาหารเลี้ยงเชื้อ ที่มีสารเติม polymyxin B เพื่อคัดเลือกรูปแบบ *V. parahaemolyticus* หรือ แยกเชื้อ *V. cholerae* El Tor ออกจาก *V. cholerae* Classical เนื่องจาก *V. cholerae* Classical มีความไวต่อ polymyxin B (Hagen *et al.*, 1994; Donovan and van Netten, 1995)

วิธีมาตรฐานที่ใช้ในการตรวจหาเชื้อ *Vibrio* ใช้เวลาหลายวันในการทดสอบและมีหลายขั้นตอน ในกรณีที่ มีเชื้อ อในปริมาณน้อยก็ อาจจะตรวจสอบด้วยวิธีทางชีวโมเลกุล เช่น PCR เนื่องจากมีความไวและความจำเพาะสูง สามารถใช้ อในปริมาณน้อยหรือ อยู่ในภาวะ viable but non culturable (VBNC) ได้ เชื้อ อที่ได้สามารถบอกความแตกต่างโดย ตรวจสอบลายพิมพ์ ดีเอ็นเอที่ นิยามคือ Arbitrarily primed PCR (AP-PCR) หรือ random amplified restriction polymorphic DNA (RAPD) amplified restriction fragment length polymorphism (AFLP) และ PFGE ซึ่ง สามารถบอกความแตกต่างของเชื้อ อจุลินทรีย์สายเดียวกัน แต่ ต่างสายพันธุ์ ได้ (Versalovic, 1991; Kaysner *et al.*, 1994; Wong *et al.*, 1996; Aono *et al.*, 1997; Lee *et al.*, 1998)

### 1.2.2 *V. parahaemolyticus*

*V. parahaemolyticus* พบครั้งแรกเมื่อปลายเดือนตุลาคมปี ค.ศ. 1950 โดย Fujino และคณะ โดยขณะนั้น เชื้อ อดังกล่าวเป็น สาเหตุของการระบาดของโรคพิษในเมื่องโอซากา ประเทศญี่ปุ่น เนื่องจากการรับประทานหอยนางรม (Shirasu) ซึ่งวางขายโดย *Gracilis japonica* (Hottuyn) ต่อมานักวิทยาศาสตร์อีก ๓ คนที่ แสดงอาการแพ้แพ้แบบเฉียบพลันรุนแรง จำนวน 272 ราย และเสียชีวิต 20 ราย โดยผู้ป่วยส่วนใหญ่มีอาการหลังจากบริโภคเพียง 2-6 ชั่วโมง อาการโดยทั่วไปประกอบด้วยปวดเกร็งในช่องท้อง คลื่นไส้ อาเจียน และท้องร่วง อุจจาระอาจมีมูกเลือดปน ปวดศีรษะ หนาวสั่น Fujino ตั้งข้อสงสัยว่าเป็น สาเหตุว่า *Pasteurella parahaemolytica* ต่อมานักวิทยาศาสตร์ ได้ มีการศึกษาลักษณะของเชื้อ อพบว่า เป็น แบคทีเรียที่มีรูปร่างเป็น รูปแท่งหรือ อกไข่ หัก ขั้ว ขั้วยาว ๑-๑.๕ ไมครอน และยาว 1-5 ไมครอน เคลือบ หนวักได้ ๑-๑.๕ ไมครอน อยู่ ตรงปลายด้านหนึ่ง (single polar flagellum) หมักน้ำตาล glucose ให้ กรดแต่ ไม่ ให้ แก๊ส ให้ ผลบวกในทดสอบปี ค.ศ. 1955 Takikawa พบว่า *P. parahaemolytica* เป็น แบคทีเรียที่ ต้องการเกลือ อในการเจริญเติบโต (halophile) สามารถเจริญได้ ในสภาวะที่มีเกลือ โซเดียมคลอไรด์ 3% ในปี 1963 Sakazaki และคณะ ได้ ศึกษาลักษณะรูปร่างการเพาะเลี้ยงเชื้อ อและลักษณะทางชีวเคมีของ *V. parahaemolyticus* จึง เปลี่ยนจากสกุล *Pasteurella* เป็น สกุล *Vibrio* (Miwatani and Takeda, 1976)

*V. parahaemolyticus* เป็นสาเหตุสำคัญของโรคอาหารเป็นพิษ พบได้บ่อยในทวีปเอเชียและสหรัฐอเมริกา ส่วนในทวีปยุโรปจะพบน้อย สาเหตุการติดเชื้อนี้อาจมาจากการบริโภคโดยตรงและโดยอ้อม การติดเชื้อโดยตรงเกิดจากการรับประทานหอยหรือปูที่ไม่สุก ส่วนการติดเชื้อโดยอ้อมเกิดจากการปนเปื้อนของอาหารภายหลังการเก็บเกี่ยว พบว่าปริมาณเชื้อ *V. parahaemolyticus* ในอาหารทะเลที่ก่อให้เกิดโรค (infective dose) เท่ากับ  $10^{10}$  เซลล์ (Baker and Gangarosa, 1974; Farmer *et al.*, 1985; Daniels *et al.*, 2000) ในญี่ปุ่นพบ *V. parahaemolyticus* เป็นสาเหตุสำคัญของโรคอาหารเป็นพิษ ประมาณ 50-70% ของผู้ป่วยทั้งหมดที่ติดเชื้อโรคอาหารเป็นพิษจากเชื้อแบคทีเรีย (Miyakawa, 1976; Sakazaki and Balows, 1981) จากรายงานที่ญี่ปุ่นพบว่าสาเหตุจากเชื้อ *V. parahaemolyticus* มีแนวโน้มเพิ่มขึ้นตั้งแต่ปี ค.ศ. 1997 เกิดการระบาด 496 ครั้ง ระหว่างปี 1998-2001 เป็นจำนวน 102 ครั้ง ในปี ค.ศ. 1996, 160 ครั้ง ในปี ค.ศ. 1997 และ 234 ครั้ง 1998 ส่วนใหญ่จะเป็นการระบาดเล็ก ๆ มีผู้ป่วยน้อยกว่า 50 ราย มีเพียง 6% ของการระบาดที่มีผู้ป่วยระหว่าง 50-99 ราย และการระบาดครั้งใหญ่ที่มีผู้ป่วยมากกว่า 500 ราย มีเพียงสองครั้ง คือ ในปี ค.ศ. 1996 ที่เมือง Niigata มีผู้ป่วย 691 ราย เกิดจากการรับประทานปูต้ม และ ค.ศ. 1998 ที่ Shiga มีผู้ป่วย 1167 ราย ที่รับประทานอาหารที่ปรุงในงานรื่นเริง การระบาดในญี่ปุ่นมีข้อยกเว้นจะมีผู้ป่วยครั้งละไม่มาก (Anonymous, WER, 1999)

ส่วนการระบาดในไต้หวัน ระหว่างปี ค.ศ. 1986-1995 มีการระบาดครั้ง ๆ จากเชื้อ *V. parahaemolyticus* (Pan *et al.*, 1997) มีการระบาดมากกว่า 200 ครั้ง ในปี ค.ศ. 1997 รวมถึงผู้ป่วย 146 รายที่ติดเชื้อ *V. parahaemolyticus* จากการรับประทานหอยนางรมที่นำเข้าจากไต้หวัน (Anonymous, Promed, 1999)

ในสหรัฐอเมริกา การระบาดของเชื้อ *V. parahaemolyticus* ครั้งแรกเกิดขึ้นในรัฐ Maryland ปี ค.ศ. 1971 ทำให้มีผู้ป่วย 320 ราย ที่เกิดจากการรับประทานปูสด และต่อมาเกิดการระบาดขึ้นตลอดชายฝั่งของสหรัฐอเมริกา และมีการระบาด 42 ครั้ง ระหว่างปี 1973-1987 มีสาเหตุจากหอยกึ่งปู 33 ครั้ง 1989 Hoge และคณะ รายงานจากโรงพยาบาลที่อ่าว Chesapeake พบว่าผู้ป่วยติดเชื้ออื่น 13 ราย (>69%) เป็น *V. parahaemolyticus* และจากการประชุมที่ New Orleans ก็รายงานว่าเชื้อชนิดนี้พบได้ในผู้ป่วยที่ติดเชื้ออื่นในรัฐลุยเซียนา (Lowery *et al.*, 1989; Bean and Griffin, 1990) การระบาดครั้งใหญ่ที่สุดเกิดขึ้นในช่วงหน้าร้อนปี ค.ศ. 1978 มีผู้ป่วยกว่า 1,700 ราย ที่รับประทานกุ้งต้มเป็นอาหารเย็นใน Port Allen La. สาเหตุเนื่องจากการที่กุ้งแช่ในคอนเซิร์ฟเป็นอาหารเย็น กลับเข้าไปใส่ในกล่องเดิมที่เก็บกุ้งแล้ว วนกลับไปอีก ๑๐ ไมล์ ได้เกิดในผู้เย็นหลัง

จากนั้น 7-8 ชั่วโมงจึงรับประทานซึ่งเป็นการติดเชื้อจากอาหารปนเปื้อนของอาหาร  
 ภายหลังการปรุง (Oliver and Kaper, 1997) ได้มีการสำรวจชุมชนชายฝั่งรอบอ่าววาลีแห่งใน  
 สหรัฐอเมริกาปี ค.ศ. 1991 Desenclos และคณะพบว่า *V. parahaemolyticus* เป็นสาเหตุที่สำคัญ  
 อันดับสอง(มากกว่า 26%) ที่ทำให้เกิดโรคคลื่นไส้ อักเสบที่ท้องใน Florida  
 ปี ค.ศ. 1993 Levine และคณะพบว่า *V. parahaemolyticus* เป็นสาเหตุสำคัญที่ทำให้เกิดโรคคลื่นไส้  
 อักเสบ (37% ใน 71 ราย) การระบาดสามครั้งในสหรัฐอเมริกาช่วงปี ค.ศ. 1997-1998 มีสาเหตุ  
 มาจากการรับประทานหอยนางรมดิบในเคอนติคัต ค.ศ. 1998 พบ 209 ราย เกิดจากการ  
 รับประทานหอยนางรมจากชายฝั่งแถบ California, Oregon, Washington และ British Columbia  
 (Anonymous, 1997; CDC, 1998) ในหนึ่งวันปี ค.ศ. 1998 พบ 416 ราย เกิดอาการท้องเสียหลัง  
 รับประทานหอยนางรมจากอ่าว Galveston ใน Texas ได้รัศมีนี้ยังนับว่าเกิดจากเชื้อ  
*parahaemolyticus* 110 ราย ระหว่างเดือนกรกฎาคม-กันยายน ค.ศ. 1998 ผู้ป่วยรับการรักษา  
 ว่าติดเชื้อ *parahaemolyticus* เกิดจากการรับประทานหอยนางรมดิบและปูจากบริเวณ Long  
 Island (CDC, 1999)

ในประเทศฝรั่งเศสมีรายงานการระบาดของเชื้อ *parahaemolyticus* เพียงหนึ่งครั้ง  
 (Lemoine *et al.*, 1999) ในเคอนติคัต ค.ศ. 1997 มีผู้ป่วย 44 ราย เกิดอาการท้องเสียหลัง  
 รับประทานกุ้งที่มาจากทวีปเอเชียได้นำอุจจาระผู้ป่วย 5 รายมาทดสอบปรากฏว่า 3 รายติด  
 เชื้อ *parahaemolyticus* แต่ไม่สามารถแยกเชื้อได้จากอาหารจากการศึกษาอื่นซึ่งผู้ป่วย  
 ที่ติดเชื้อ non-cholera vibrio ในประเทศฝรั่งเศสระหว่างปี 1995-1998 มี 7 รายที่ติดเชื้อ  
*parahaemolyticus* ผู้ป่วย 1 รายที่มีปัญหาสุขภาพติดเชื้อในกระแสเลือด 6 รายมีไข้  
 ในจำนวนนี้ 2 รายมาที่ชาวเอเชียในเวลาใกล้เคียงกัน 2 รายที่รับประทานหอยนางรมดิบ  
 2 รายไม่ทราบสาเหตุ (Geneste *et al.*, 2000)

สำหรับในประเทศไทยมีรายงานการพบเชื้อ *parahaemolyticus* ครั้งแรกในปี ค.ศ.  
 1970 พบว่า *V. parahaemolyticus* เป็นแบคทีเรียก่อโรคอุจจาระร่วงสูงถึงร้อยละ 25 ของสาเหตุ  
 ทั้งหมดซึ่งสูงเกิน *Shigella* และ *Shigella* (อรรถาสูตเชษฐกุล, 2541) และจากการสำรวจผู้ที่มี  
 สุขภาพสมบูรณ์ จำนวน 450 คน พบ 3.8% (17 คน) เป็นพาหะของเชื้อ *parahaemolyticus* และมี  
 ผู้ป่วย 3 รายที่มีอาการท้องเดินไม่รุนแรง (บุญเยี่ยมเกียรติคุณ, 2527) และจากรายงาน  
 การสำรวจ *V. parahaemolyticus* ซึ่งมุลจากสำนึกระบาดวิทยาประเทศไทยพบเชื้อนี้ เป็นสาเหตุ  
 อันดับ 1 ที่ทำให้เกิดโรคอาหารเป็นพิษชนิดเป็นน้ำใสของ ผู้ป่วยโรค  
 อาหารเป็นพิษทั้งหมดในปี พ.ศ. 2540-2545 ตามลำดับและยังเป็นผู้ก่อการตี้อย่างของ  
 เชื้อก่ออันตรายถึงชีพสถาบัน วิจัยวิทยาศาสตร์ สาธารณสุขในการศึกษาแยกผู้มอจจาระร่วง

ใน 32 โรงพยาบาลเครือข่ายพบว่า ในปี พ.ศ.2543 พบเชื้อ *V. parahaemolyticus* เป็นสาเหตุอันดับ 1 คือ เชื้อ *V. parahaemolyticus* 1,310 จากผู้ป่วย 5,337 ราย (24.5%) ในปี 2544 พบเป็นสาเหตุอันดับ 2 รองจากเชื้อ *Salmonella* คือ เชื้อ *V. parahaemolyticus* จากผู้ป่วย 1,148 คนใน 6,879 ราย, 805 คนใน 4,419 ราย และ 636 คนใน 4,081 ราย คิดเป็นร้อยละ 16.7, 19.1 และ 15.6 ของผู้ป่วยลำดับ ผลการเฝ้าระวังทางห้องปฏิบัติการ สถาบันวิจัยวิทยาศาสตร์สาธารณสุข กรมวิทยาศาสตร์ 2547. เชื้อ *V. parahaemolyticus* จำนวนรวมทั้งสิ้น 629 สายพันธุ์ จากผู้ป่วย 543 สายพันธุ์ และ 78 สายพันธุ์ และ 18 สายพันธุ์ (<http://webdb.dmsc.moph.go.th>)

### 1.2.2.1 ลักษณะและคุณสมบัติทั่วไป

*V. parahaemolyticus* เป็นแบคทีเรียแกรมลบรูปแท่ง ลักษณะเป็นท่อนตรงหรือโค้งเล็กน้อยขนาด 0.5-0.8-2.6  $\mu\text{m}$  สามารถเจริญได้ในสภาวะที่มีออกซิเจนและไม่ มีออกซิเจน (facultative anaerobe) แต่ เจริญในสภาวะที่มีออกซิเจนดีกว่านี้ ไม่สร้างสปอร์ มีแคปซูลเมื่ออยู่ในอาหารเหลวเคลือบที่ ด้วย single polar flagellum แต่ในอาหารแข็งสามารถสร้าง peritrichous flagella เพื่อใช้ในการเกาะติด (Belas, 1986; McCarter *et al.*, 1988) สามารถใช้สารอินทรีย์ เป็นแหล่งคาร์บอนและพลังงาน (chemoorganotrophic) *V. parahaemolyticus* สามารถสร้างเอนไซม์ catalase และ oxidase ไม่สามารถหมักน้ำตาล แต่ หมักน้ำตาล glucose ให้กรดแต่ไม่ให้แก๊ส ดังนั้นลักษณะโคโลนีบนอาหาร TCBS จึงมีสีน้ำตาลแดง เส้นผ่าศูนย์กลาง 2-3 มิลลิเมตร *V. parahaemolyticus* สามารถหมักน้ำตาล mannitol และ mannose แต่ ไม่สามารถหมัก lactose, salicin และ cellobiose สามารถที่ยีน tryptophan เป็น indole ให้ผลบวกกับการทดสอบ lysine ให้ผลลบกับการทดสอบ arginine Voges-Proskauer

*V. parahaemolyticus* มีโครงสร้างทางแอนติเจนประกอบด้วย somatic (O) antigens 13 กลุ่ม capsular (K) antigens 71 ชนิด และ flagellar antigens มากกว่า 70 กลุ่ม K antigen จะถูกทำลายด้วยความร้อน 100 องศาเซลเซียส เวลา 1-2 ชั่วโมง (Ondal, 1966) การ autoclave เชื้อออก่อนเพื่อทำลาย K antigen จะทำให้สามารถตรวจสอบ O antigen การตรวจสอบจะใช้วิธี agglutination ด้วย antiserum ซึ่ง O-antiserum ของแต่ละกลุ่มจะมีชนิดของ K antigen ที่จำเพาะเจาะจง (Sakazaki, 1968) (ตารางที่ 1.3) แอนติเจนของ lateral flagellum จะต่างจาก peritrichous (lateral) flagella (Shinoda *et al.*, 1974) แอนติเจนจากโปรตีน flagellin ที่พบใน polar flagellum จะพบใน *V. parahaemolyticus* ทุกสายพันธุ์ (Shinoda *et al.*, 1976)

การศึกษายืนยันด้วยผลของการเจริญของเชื้อ *V. parahaemolyticus* พบว่า เชื้อ *V. parahaemolyticus* เจริญได้ที่อุณหภูมิระหว่าง 15-42 องศาเซลเซียส (mesophilic) ต่ำสุด

ที่สามารถทนได้ คือ 5 องศาเซลเซียส และอุณหภูมิ สูงสุดที่สามารถทนได้ 44 องศาเซลเซียส แต่ อุณหภูมิ ที่ เหมาะสมในการเจริญอยู่ ระหว่าง 30-37 องศาเซลเซียส ผลของความร้อน ต่อ การ อยู่ รอดของ *V. parahaemolyticus* พบว่า ที่ อุณหภูมิ 60 หรือ 80 องศาเซลเซียส เวลา 1 นาที สามารถทำลายเชื้อ อัจฉริยะ 50 เซลล์ ได้ แต่ หากเพิ่ม ปริมาณเพิ่ม มากขึ้น เช่น ปริมาณเชื้อ  $2 \times 10^5$  เซลล์ พบว่า ที่ อุณหภูมิ 60 องศาเซลเซียส หรือ 80 องศาเซลเซียส เวลา 15 นาที อาจจะมีบาง เซลล์ รอดแต่ เชื้อ ก็สามารถถูกทำลายได้ หกคน นั่น คือ วานเดอร์ซันท์ (Vanderzant and Nickelson, 1972) เชื้อ *V. parahaemolyticus* จะตายที่ อุณหภูมิ ต่ำ กว่า 15 องศาเซลเซียส ในการทำ อาหารที่ 1 อุณหภูมิ ถึง 6 องศาเซลเซียสก็ จะฆ่า เชื้อ นี้ ได้ เพราะ Thermal D time ของ *V. parahaemolyticus* ที่ 6 องศาเซลเซียสจะใช้เวลา น้อยกว่า 1 นาที และที่ 55 องศาเซลเซียส เวลา Thermal D time จะเพิ่ม ขึ้น ที่ pH เพิ่มขึ้น จาก 5 เป็น pH 8 (Vanderzant and Nickelson, 1972; Andrews *et al.*, 2000) ในการทำ อาหารทะเลที่ ไม่ สามารถฆ่า เชื้อ นี้ ได้ ที่ ทั้งหมดเชื้อ จะกลับ มาเจริญ ได้ อีกถ้า ยัง ไม่ ได้ รับประทานหรือ ไม่ ได้ เก็บไว้ ที่ อุณหภูมิ ต่ำ กว่า 4 องศาเซลเซียส (Blake, 1984; Paparella, 1984) ถ้า เชื้อ อยู่ ในหอยนางรมที่ อุณหภูมิ 26 องศาเซลเซียส หลัง 24 ชั่วโมงเชื้อ จะเพิ่ม จำนวน 13-26 เท่า (Kaufman, 2003) เชื้อ สามารถเจริญ ได้ ที่ pH ต่ำ อนุกรม กว้าง คือ 4.8-11 แต่ pH ที่ เหมาะสมในการเจริญ อยู่ ใน 6-8 pH ต่ำ จะทำให้ การเจริญ ของ เชื้อ ลดลง การเจริญ เต็ม โตจะถูกยับ ยั้ง ถ้า มี 0.1% (acetic acid) และ 0.1% sorbic acid เชื้อ *V. parahaemolyticus* จะไวต่อ การฉายแสงยูวี ในปลาน้ำจืด ที่ อุณหภูมิ 24 องศาเซลเซียส value (Decimal Death Dose) คือ ระยะเวลาที่ ต้องใช้ เพื่อลด เชื้อ ลง 90% เท่า กับ 0.022 kGy แต่ ในกุ้ง แช่ แช่ แช่ เท่า กับ 3 kGy และ 1 นาที ในหอยนางรมลง 5-6  $\log_{10}$  (Jakabal M *et al.*, 2003)

นอกจากนี้ โซเดียมคลอไรด์ ก็ เป็น ปัจจัย สำคัญ ในการเจริญของ เชื้อ โซเดียมคลอไรด์ ที่ เชื้อ สามารถเจริญ ได้ อยู่ ในช่วง 0.5-8% ซึ่งช่วงนี้เหมาะสมคือ 2-3% ภายใต สภาวะที่ เหมาะสมจะมี generation time ต่ำ นประมาณ 9-10 นาที (Kaufman *et al.*, 2003) ได้ ทำการศึกษากการเจริญ ของเชื้อ *V. parahaemolyticus* ในหอยเป็ อี๋ อ (Taiwan abalone *Umbelopsis diversicolor supertexta*) โดยเลี้ยง *V. parahaemolyticus* ใน tripical soy broth (TSB) ที่ มีความ เข้มข้น ของโซเดียมคลอไรด์ ที่ ระดับ ต่ำ ่างๆ คือ 0.5 1.5 และ 3.5% แล้ว วิเคราะห์ *V. parahaemolyticus* ในปริมาณเท่า กัน ในหอยเป็ อี๋ อ หลัง จากนั้น 48 ชั่วโมง พบว่า การเจริญ ของเชื้อ *V. parahaemolyticus* ในอาหาร TSB ที่ มีโซเดียมคลอไรด์ 1.5 2.5 3.5 และ 4.5% หลัง 12 ชั่วโมง จะเจริญ มากกว่า ที่ มีโซเดียมคลอไรด์ 0.5% *V. parahaemolyticus* จะเจริญ ได้ ดีในอาหาร

เลี้ยงเชื้อ TSB-2.5% NaCl 24 ชั่วโมง ในขณะที่ ถ้า ความเข้มข้น ของโซเดียมคลอไรด์ อยู่ระหว่าง 2.5-3.5% จะเจริญได้ดีที่ 48 และ 72 ชั่วโมง แต่จะไม่แตกตัวของ การเจริญของ *parahaemolyticus* ใน TSB ที่ ระดับ ความเข้มข้น ของโซเดียมคลอไรด์ ตั้งแต่ 4.5-4.5% หลัง 96 ชั่วโมง (Cheng et al., 2004)

*V. parahaemolyticus* จะมีการสร้าง unsheathed peritrichous หรือ lateral flagella บนสารอาหารแข็งหรือกึ่งแข็ง (solid or semisolid medium) มีโครงสร้าง sheathed polar flagellum เมื่ออยู่ในอาหารเหลว (Allen and Baumann, 1971; Baumann et al., 1971; Yabuuchi et al., 1974; Belas et al., 1986) การสร้าง polar flagellum ถือว่า เป็นลักษณะปรากฏ (Yabuuchi et al., 1974) *V. parahaemolyticus* ที่มี polar flagellum จะเคลื่อนที่ได้เร็ววียนที่ที่มีโซเดียมคลอไรด์ มีหลักฐานว่า มีการเพิ่มขึ้นของ polar flagella เนื่องจากการเจริญและการสังเคราะห์ได้ดี (McCarter et al., 1988; Xu et al., 2004) โครงสร้างของ peritrichous จะไม่เหมือน polar flagellum จะถูกยับยั้งการสร้างในอาหารที่มี pH ตั้งแต่ 8.5 ค่ากว่า pH สูงมีผลต่ออสมมาตรของเซลล์ (Kimura et al., 1979) การเคลื่อนที่ของ *V. parahaemolyticus* บนสารอาหารกึ่งแข็ง (semisolid medium) หรือเรียกว่า swarming จะอยู่ภายใต้การควบคุมของจีน lateral flagella ซึ่งประกอบด้วยจีน 38 ชนิด การแสดงออกเมื่อมีการยับยั้งการสร้าง polar flagellum แสดงออกของจีน *laf* ซึ่งนักวิจัยของสิงคโปร์และตุรกีควบคุม (Guvener, and M2003; Hsieh et al., 2003; Jaques and McCarter, 2006) ต่อมา มีการพบจีน *Vpa H* ซึ่งไม่ได้มีความใกล้เคียงกับจีนอื่นๆ ในสกุล *Vibrio* เพราะ phylogenetic branch จะต่างจาก hns (histone-like nucleotide sequence) ซึ่ง hns ถือเป็นโครงสร้างที่สำคัญของ enteric bacteria มีปริมาณ guanine รวมกับ cytosine (ค่า G+C content) ของดีเอ็นเอเท่ากับ 38.6 mol% ในขณะที่ G content บริเวณอื่นๆ ของ *Vibrio* เท่ากับ 45.4 mol% จีน *Vpa H* จะพบเฉพาะในสายพันธุ์ที่มีจีน *KP* มีขนาด 2.6 kb อยู่ถัดจาก *gene* จึงมีความเป็นไปได้ที่ *Vibrio* ได้รับจีนนี้มาจากแหล่งอื่น swarming activity มีบทบาทสำคัญในการที่แบคทีเรียจะเกาะผิวของเซลล์พืชและจีน *Vpa H* ที่ถูกทำ mutant ปรากฏว่า swarming activity ลดลง 50% ซึ่งวิจัยยืนยันว่า จีนทั้งสองมีบทบาทสำคัญต่อการสร้าง *lateral flagella* (Datta et al., 2005)

โคโลนี *V. parahaemolyticus* มี 2 แบบ *V. parahaemolyticus* ที่มีโคโลนีเป็น opaque (OP) จะมี capsular polysaccharide มากจะทำให้ swarm ไม่ดี ในขณะที่โคโลนีแบบ translucent (TR) จะมี capsular polysaccharide น้อยกว่า ดังนั้นการ swarm จะดีกว่า จะมีการเปลี่ยนแปลงระหว่าง OP และ TR ซึ่งนักโภชนาการที่ใช้เลี้ยงเชื้อ (McCarter and McCarter, 2003; Hsieh et al., 2003)



จากการศึกษาความไวต่อยาต้านจุลชีพของ *V. parahaemolyticus* 21 ตัวอย่างที่ได้จากบริเวณชายฝั่งทะเลสามแห่งในประเทศมาเลเซียพบว่า *V. parahaemolyticus* สามารถเจริญบนอาหารเลี้ยงเชื้อที่ประกอบด้วย norfloxacin และ chloramphenicol แต่จะดีต่อ ยา penicillin (95.2%) carbenicillin (95.2%) erythromycin (95.2%) bacitracin (71.4%) cephalothin (28.6%) moxalactam (28.6%) kanamycin (19.1%) tetracycline (14.3%) nalidixic acid (9.5%) และ gentamycin (9.5%) เชื้อ *V. parahaemolyticus* ที่ทดสอบทั้งหมดไม่พบแต่มีเพียงหนึ่งตัวอย่างที่ (Giam et al., 2005) และที่ประเทศซิติตั้งแต่ปี ค.ศ. 1998 ถึงปีปัจจุบันพบเชื้อ *V. parahaemolyticus* สามครั้ง ครั้งแรกสุดในจังหวัดภูเก็ต ภูเก็ต ค.ศ. 2005 มีผู้เสียชีวิตหนึ่งคนมีเพียง 6% ของผู้ป่วยจะพบเชื้อในอุจจาระสายพันธุ์ที่ตามพบในระบาดทั่วโลก O3:K6 พบว่าเชื้อ *V. parahaemolyticus* ไวต่อยา tetracycline ciprofloxacin และ chloramphenicol ดีต่อ ยา ampicillin (Heitmann, 2005)

ในธรรมชาติพบว่าเชื้อ อุณหภูมิต่ำกว่า 10 องศาเซลเซียส เชื้อจะไม่โตมีการศึกษาเลี้ยงเชื้อในน้ำทะเลที่อุณหภูมิ 4 องศาเซลเซียส พบว่าเชื้อเจริญบนอาหารเลี้ยงเชื้อ heart infusion agar และ TCBS แต่เชื้อยังมีขบวนการและเซลล์เมมเบรนยังมีความสมบูรณ์ แต่มีการเปลี่ยนแปลงรูปร่างของเซลล์จากรูปแท่งเป็นรูปกลีบบางสายพันธุ์สามารถเจริญบนอาหารเลี้ยงเชื้อดังกล่าวได้ หากมีการเพิ่มอุณหภูมิของการเพาะเชื้อ (Allen and Baumann, 1971; Johnston and Brown, 2002)

การอยู่รอดในอาหารต่างๆ พบว่าเชื้อ能耐น้ำแช่เย็นที่อุณหภูมิ 8 องศาเซลเซียส ปริมาณ *V. parahaemolyticus* จะลดลง 100-1000 เท่า การเก็บแช่เย็นที่ 4 หรือ 8 องศาเซลเซียส ปริมาณเชื้อจะลดลงน้อยกว่าเก็บในที่แช่แข็งเชื้ออยู่รอดได้ 3-4 วัน (Vanderzant and Nickelson, 1972; Vasudevan P et al., 2002) เมื่ออุณหภูมิ 3, 7, 10 หรือ -18 องศาเซลเซียส ปริมาณ *V. parahaemolyticus* จะลดลงแต่ยังมีชีวิตอยู่ได้ 8 วัน ในหอยนางรมที่วางบนชั้นน้ำหนึ่อาหารอุณหภูมิ 4 องศาเซลเซียส เชื้อสามารถอยู่ได้ 3-4 วัน และ 3 อาทิตย์ และสามารถเพิ่มจำนวนได้ เมื่อไปแช่เย็นที่ -18 องศาเซลเซียส 2-3 วัน และเช่นเดียวกับ *V. parahaemolyticus* ในซูริมิ (surimi) ที่เก็บไว้ที่อุณหภูมิ 5 องศาเซลเซียส เป็นเวลา 48 ชั่วโมงจะมีปริมาณเชื้อลดลงแต่สามารถเพิ่มจำนวนได้ที่อุณหภูมิ 25 องศาเซลเซียส (Wong et al., 1994) นอกจากนี้ได้มีการศึกษาการเลี้ยงเชื้อ *V. parahaemolyticus* ใน TSB -3% NaCl ที่อุณหภูมิ 15, 25 และ 37 องศาเซลเซียส จนเชื้อเข้าสู่ระยะ mid-exponential phase แล้ววนไปเลี้ยงต่อใน Morita mineral salt (MMSNaCl) ที่อุณหภูมิ 4 องศาเซลเซียส เชื้อจะเข้าสู่ภาวะ Viable but nonculturable state (VBNC) เชื้อ *V. parahaemolyticus* ที่เดิมเลี้ยงที่

อุณหภูมิ 15 องศาเซลเซียส หลัง 49 วัน เชื้อ จะเข้าสู่ ภาวะ VBNC หลัง 25 และ 37 องศาเซลเซียสจะเข้าสู่ ภาวะ VBNC หลัง 35 วัน และเชื้อ อยู่ในระยะ mid – exponential และ stationary phase แล้ว วนกลับไปเลี้ยงใน MMS – 3% NaCl เข้าสู่ ภาวะ VBNC หลัง 56 วัน แต่ เชื้อ อยู่ในระยะ mid-exponential phase จะลดลงมากกว่า ระยะ stationary phase อยู่ งามมีนัยสำคัญ (P < 0.05) เชื้อ ่อว่า เนื่องจากการสรีรศาสตร์ นมาเพื่อ ่อป้อนอยู่บนดินเองจะที่ไม่เหมาะสมทำ ให้ เชื้อ เข้าสู่ VBNC ช้า ลง (Wong and Wang, 2004)ทดสอบการอยู่รอดของเชื้อ *V. parahemolyticus* เมื่อโดนสารเคมีเช่น ethanol พบว่า *V. parahemolyticus* จะมีการเปลี่ยนแปลงรูปร่างและคัดแปลงในเซลล์ ที่ มีการเสียหาย การอยู่รอดของเชื้อ มีความแตกต่าง อยู่ งามมีนัยสำคัญคือ เชื้อ จะสูงขึ้นเมื่อ นำ มาเพาะเชื้อ บน TSA – 5% ที่ 4 องศาเซลเซียส และ TCBS เซลล์ ที่ โคน ethanol จะพบว่า มีสารโปรตีนและ nucleic acid สูงในของเหลวที่ ใช้ เลี้ยงเชื้อ ่อ เนื่องมาจากเซลล์ เมมเบรนได้ รับ ความเสียหาย การอยู่รอดของ *V. parahemolyticus* ที่ สัมผัส ethanol จะคล้ายกับการอยู่รอดของเซลล์ ที่ 4 องศาเซลเซียส พบว่า เซลล์ ที่ สัมผัส ethanol จะมีความทนต่อ อุณหภูมิ เพิ่มขึ้นอยู่ งามมีนัยสำคัญ *V. parahemolyticus* ที่ สัมผัส ethanol เป็น เวลา 60 นาที จะมีการอยู่รอดที่ ึ่งมากกว่า สัมผัส ethanol แค่ 30 นาที (Chiang 2006)

#### 1.2.2.2 แหล่ง ที่ อยู่

*V. parahemolyticus* พบที่ ัวไปบริเวณชายฝั่ง ทะเลในน่าน ้าทะเลที่ ัวโลก ในตะกอนดิน อนุภาคแขวนลอย สัตว์ ทะเล เช่น กุ้ง หอย ปู ปลา แผลงก์ ตอน และ การกระจายตัวของเชื้อ ่อ ในสิ่งแวดล้อมมีขึ้นที่ บดุกกาล ในช่วงฤดูร้อนจะพบมากที่สุด คน ทั่วพบ *V. parahemolyticus* ใน อาหารทะเล สัมผัส กัก บดุกอุณหภูมิ ของน่าน ้าทะเล เมื่อ อุณหภูมิ 22 องศาเซลเซียส เชื้อ ่อ สามารถเพิ่มจำนวนและปนเปื้อนในน่าน ้าทะเลมากขึ้น ทำให้ *V. parahemolyticus* ใน อาหารทะเลสูงขึ้น พบเชื้อ ่อนี้ ในหอยนางรม 7.2, 500, 1,330, 1500 MPN/g ช่วง ฤดูฝน ใบไม้ ร่วง ใบไม้ ผลิ และฤดูร้อน ตามลำดับ พบเชื้อ ่อนี้ ในปลา ช่วง ฤดูใบไม้ผลิ แต่ ในช่วง ฤดูร้อนจะพบสูงถึง 43.6% ที่ ประเทศ อิตาลีปกติ จะพบเชื้อ ่อนี้ในสัปดาห์ละ 1 CFU/g แต่ จะสูงขึ้นในหน้า าร้อน (Miyamoto, 1969; DePaola et al., 1990; Daniels et al., 2000; Cook et al., 2002) ในช่วง ฤดูหนาวเชื้อ ่อจะอาศัย อยู่ ในตะกอนใต้น่าน ้าตามชายฝั่ง *V. parahemolyticus* ได้ ในแผลงก์ ตอน สัตว์ เมื่อ อุณหภูมิ ของน่าน ้าอยู่ ระหว่าง 15-19 องศาเซลเซียส เชื้อ อดซั บสารโคติ นบนแผลงก์ ตอน เมื่อ สภาวะแวดล้อมเหมาะสม เซลล์ ของแผลงก์ ตอน และเพิ่มจำนวนมากขึ้นในน่าน ้าทะเล จากการศึกษายพบชัดเจนว่า เชื้อ ่อนี้จะเพิ่มจำนวนที่



ทำให้ เกิด ครอบเยื่อหุ้มเซลล์ เมื่อดัดแปลง และทำให้ เซลล์ของ *human anionic membrane cell (FL cell)* โดยไปลดจำนวน *microvilli* ที่ผิวเซลล์ ทำให้ ไฮโดรพลาสซึม เยื่อหุ้มและ นิวเคลียสแตก ซึ่งกลไกที่ สาคัญอยู่ หนึ่งก็คือ TDH สามารถเหนี่ยวนำ *phosphorylation* ของ โปรตีนบนเยื่อหุ้มเซลล์ เมื่อดัดแปลง (Sakuma 1976; Honda *et al.*, 1992; Huntley *et al.*, 1993; Tang *et al.*, 1994) TDH เป็น พิษต่อ เซลล์ หลายชนิด ทำลายเซลล์ เมื่อดัดแปลงในสัตว์เลี้ยงลูกด้วยนมหลายชนิด เช่น คน สุนัข ช้าง และให้ *hemolysis* ในการสลายเม็ดเลือดแดง กระต่ายและแกะ แต่ไม่ย่อยสลายเม็ดเลือดแดงของมนุษย์ เม็ดเลือดแดงที่ไม่มี neuraminidase-sensitive gangliosides  $G_{T1}$  และ  $G_{D1a}$  โดยเฉพาะอยู่ ว่าง *Ganglioside* ซึ่ง เป็น receptor site ของ TDH ดังนั้น จึงใช้ เม็ดเลือดแดงของมนุษย์ ในการศึกษา TDH ไม่ได้ (Takeda *et al.*, 1976; Honda and Iida, 1993) การศึกษาการสลาย *hemolysis* ที่ ระดับ pH ต่ำ ่างๆ พบว่า จะมีการสลาย *hemolysin* ที่ ช่วง pH 5.5-6.5 และสลาย ในระยะ late exponential หรือ early stationary สำหรับ สายพันธุ์ K ความสำคัญ ของ pH ต่ำ ในการสลาย *hemolysin* จะมีผลต่อ กลุ่ม *KP* มากที่สุด ทำให้ ผล weak หรือ *KP* สามารถตรวจพบ *hemolysin* เมื่อพบเชื้อ *cell* ที่ ความถี่ หนึ่งที่ pH 5.5-6.5 ได้ ดีกว่า pH 7.0-8.0 (Cherwonogrodzky and Clark, 1981; Osawa and Yamai, 1996) TDH มีผลทำให้ สัตว์ ทดลองขนาดเล็ กเสียชีวิต ทำให้ เกิด *vascular permeability* ในกระต่าย เกิด *increased permeability* ของ *myocardial membrane* และ *intestinal* จึงทำให้ เกิด *cardiotoxicity* และ *enterotoxicity* เมื่อทดสอบกับ *rabbit ileal loop (RIL)* (Takeda, 1988) TDH ทำให้ เกิด การสะสมของน้ำในลำไส้ (*fluid accumulation, FA*) ของกระต่าย คล้าย *cholera toxin* เพียงแต่ ใช้ ปริมาณ มากกว่า หลายร้อยเท่า (Honda *et al.*, 1990) พบว่า เมื่อ TDH จับกับ receptor ที่ *intestinal mu* ของกระต่าย จะทำให้ เพิ่มความเข้มข้นของแคลเซียมภายในเซลล์ จนทำให้เกิด การหลั่ง *คลอไรด์* โดยจะขึ้นกับ ปริมาณของ TDH และเวลา (Raimondi 1995) คาดว่า เมื่อ TDH จับกับ receptor จะมีการส่งสัญญาณไปกระตุ้น ภายในเซลล์ ทำให้ มีผลต่อ *calcium channel* และ เมื่อทดสอบกับ *rat crypt small intestinal cell model (IEC-6)* และ *human colonic epithelial cell (CaCo-2)* พบว่า TDH มีฤทธิ์ เหนี่ยวแน่นเซลล์ ทำให้ เกิด การหลั่ง *คลอไรด์* การแลกเปลี่ยน ไอออนของเซลล์ และทำให้ โครงสร้างของเซลล์ เปลี่ยนไป TDH จะมีผลมากกว่า *CaCo-2 cell* และ TDH บริสุทธิ์ ความเข้มข้น มากกว่า *IEC-6* สามารถกระตุ้น *rabbit ileal loop* ทำให้ เกิด การสะสมของน้ำในลำไส้ สายพันธุ์ K ทำให้ เกิด การสะสมของน้ำในลำไส้ มากกว่า สายพันธุ์ *KP* (Osawa and Yamai, 1996; Fabbri *et al.*, 1999; Raimondi *et al.*, 2000; Takahashi *et al.*, 2000)

TDH เป็น *homodimer protein* ที่ ไม่มีฟอสโฟไลปิด และคาร์โบไฮเดรต มีน้ำหนัก โมเลกุล 44 kDa ประกอบด้วย โปรตีน 2 หน่วยย่อย ที่ เหมือนกัน *isoelectric point* เท่ากัน ประมาณ 4.9

โดยแต่ ละหน้ วย่ อยมีขนาด 22 kDa แต่ ละหน้ วยประกอบด้ยมีกรคอะมิ โน 189  
 1978; Honda and Iida, 1993) เมื่ อรวมส่ วนที่ เป็ *psigins* จะประกอบด้ วยกรคอะมิ โน 189  
 ด้ ว (Nishibuchi and Kaper, 1995) กรคอะมิ โน glycine ที่ เตน่ ง 62 จะมีบทบาทส่ ค้ ญมากต่ อ  
 TDH ในการที่ จะแทรกเข้ ำไปน lipid bilayer ของเซลล์ (Takshi et al., 2006) TDH มี  
 คุณสมบัติ ทนความร้อนที่ 100 องศาเซลเซียส นาน 30 นาที ที่ 0 pH ด้ อ trypsin (Miyamoto  
 et al., 1980) TDH ถูกควบคุมการสร้ งโดยจิ้น *tdh* จากการหาล้ ด้ บนิ วัลลิโไทด์ ของจิ้น *V.*  
*parahaemolyticus* สายพ้ นธุ์ ด้ งๆ *tdh1-tdh 5 tdhA tdhS tdhX tdh/I* และ *tdh/II* ที่ ึ่งหมดมี  
 ล้ ด้ บนิ วัลลิโไทด์ เหมือนกัน นมากกว่า 97% *tdh 1* ึ่งหมดจิ้น ึ่งน่ จะเป็ นจิ้นกล่ มเดียวกัน  
 เนื่ องจากจิ้น *tdh* มีความเหมือนกัน นมากโดยโปรตีนที่ ด้ จะไม่ สามารถแยกความแตกต่าง  
 ภูมิ คุ้ มกัน ด้ จากการที่ ฤษาต์ *tdh* พบที่ มี *tdhS tdh 2* เหมือน *tdhA tdh 3* เหมือน *tdh/I*  
 และ *tdh/I* เหมือน *tdh X* (Iida and Yamamoto, 1990; Yoh et al., 1991; Xu et al., 1994; Nagayama  
 et al., 1995; Nishibuchi and Kaper, 1995) จิ้น *tdh* ส่ วนใหญ่ อยู่ บนโครโมโซม ยก *tdh 4* อยู่  
 บนพลาสมิด (Nishibuchi and Kaper, 1995) จากการที่ ฤษ *V. parahaemolyticus* สายพ้ นธุ์ KP  
 และ KP<sup>-</sup> พบว่า KP<sup>+</sup> ฤษสายพ้ นธุ์ จะมี *tdh 2* ชุดคือ *tdh1* และ *tdh2* จากการที่ ฤษพบว่า เชื้อ อที่ แยก  
 ด้ จากผู้ ป่วย 81% มีจิ้น *tdh 2* ชุด (Nishibuchi and Kaper, 1990; Iida et al., 1998) *V.*  
*parahaemolyticus* ที่ ให่ ผล weakly hemolysis หรือ เรียกว่า KP-intermediate 86% ของสาย  
 พ้ นธุ์ KP-intermediate มี *tdh 1* เพียงชุดเดียวเช่นเดียวกับสายพ้ นธุ์ KP<sup>+</sup> ึ่งมีการแสดงออกของ  
 จิ้น *tdh 1* ึ่งไม่ เกิดการย่อยสลายเมื่ ด้ อดแดงบน Wagatsuma ฤษการย่อยสลายแบบ weak  
 hemolysis แม้ว ำโปรตีนจิ้น *tdh1* และ *tdh2* จะไม่ สามารถแยกจากกัน ด้ ทางภูมิ คุ้ มกัน แต่ พบว่า  
 โปรตีนหลัก มีล้ ด้ บนิ วัลลิโไทด์ ั้งกัน 7 ด้ ว จากการที่ ฤษาล้ ด้ บนิ วัลลิโไทด์ ที่ ทำให่ บริ สุทธิ์  
 พบว่า มีความคล้ายกัน บโปรตีนที่ ด้ นมากกว่า *tdh1* (Nishibuchi and Kaper, 1990) แสดงให้  
 เห็นว่า มีการแสดงออกของ *tdh2* มากกว่า ำมีการที่ ฤษการ *V. parahaemolyticus* สายพ้ นธุ์ KP<sup>+</sup>  
 ทำให่ ฤษสายพ้ นธุ์ โดยทำให่ มีการบกร *tdh* ของ *tdh2* เพื่ อดูการสร้ ง TDH 90%  
 ของปริ มาณ TDH ที่ ึ่งหมดสร้ ง *tdh* โดย *tdh1* สามารถผลิต TDH ด้ เพียง 0.5-9.4% จาก  
*parahaemolyticus* สายพ้ นธุ์ ที่ มีที่ ึ่ง 2 จิ้น ด้ ึ่งน่ นจิ้นที่ มีความล้ ด้ ญใน *kanagawa* ฤษการ  
 Kanagawa phenomenon คือ *tdh 2* (Nishibuchi and Kaper, 1990; Nishibuchi et al., 1991) จาก  
 การที่ ฤษพบว่า การสร้ ง TDH จะจิ้น ึ่งน่ บความเข้มข้นของ *taurocholic acid* กรคอะมิ โน และ  
 ฟอสเฟตในอาหารเลี้ยงเชื้อ อและน้ ำดีของมนุษย์ จะมีองค์ ปรกอบด้ย *taurocholic acid* และกรค  
*taurocholic acid* ึ่ง *V. parahaemolyticus* ใช้ เป็ นสารต้ ึ่งด้ นในการสร้ ง TDH ด้ ำในอาหารเลี้ยงเชื้อ อมี  
 ส่ วนประกอบของ glycolic และ taurocholic (5 mM/liter) จะทำให่ การสร้ ง TDH ึ่งน่ น 4-16

เท่าที่ ซึ่งกรด taurocholic จะดี คัญมากกว่า และความเข้มข้นของโคเลอไรด์ เพื่อ ความรุนแรง ของ TDH เนื่องมาจากโคเลอไรด์ ทำให้ เกิดการแยกของโปรตีนขึ้นเล็กน้อย และทำให้ มีปฏิ กิริยา ต่อ อร์บบภูมิ ตั นทานเพื (Osawa and Yamai, 1996)

นอกจากพบจีน *tdh* ใน *V. parahaemolyticus* แล้ว ยัง พบใน *Crimontia hollisae* (*V. hollisae*) ทุกสายพันธุ์ ที่ แยกได้ จากผู้ ป่วยและสิ่ง ี งแวดล้อม จากการศึกษาด้วยวิธี ึ่งมี ความจำเพาะกั บจีน *tdh* ของ *V. parahaemolyticus* ตรวจจั บ DNA ของ *G. hollisae* โดยการทำ DNA colony hybridization พบว่า ึ่งให้ ผลบวก (Nishibuchi *et al.*, 1985; Nishibuchi *et al.*, 1988; Shirai *et al.*, 1990) ตั ึ่งนี้ ึ่งเป็ นไปได้ ว่า มีการถ่ายโอนยีนแบบที่เรียด้ วยกั น ซึ่ง ึ่งการ ถ่ายยีน *tdh* อาจจะผั นทาง transposition หรือ transduction ึ่ง กอปรกับ โครงสร้ าง insertion sequence-like element ขนานบั ึ่งจีน *tdh* (Terai *et al.*, 1991) นอกจากนั้น ึ่งยัง พบใน *V. mimicus* และ *V. cholerae* non-O1 บางสายพันธุ์ ที่ แยกได้ จากผู้ ป่วย การศึ กษาลั ดั บนิ วโอไทด์ พบว่า ึ่งจีน *tdh* ของ *V. parahaemolyticus* พบว่า ึ่งคล้ายกั บจีนของ *G. hollisae*, *V. cholerae* non-O1 และ *V. mimicus* 93.3% 97.0% และ 98.6% ตามลั ดั บ (Baba *et al.*, 1991; Yamasaki *et al.*, 1991; Nishibuchi and Kaper, 1995)

ตารางที่ 1.3 ตารางแอนติ เจนของ *parahaemolyticus*

O group	K antigen
1	1, 25, 26, 32, 38, 41, 56, 64, 69
2	3, 28
3	4, 5, 6, 7, 29, 30, 31, 33, 37, 43, 45, 48, 54, 57, 58, 59, 65
4	4, 8, 9, 10, 11, 12, 13, 34, 42, 49, 53, 55, 63, 68
5	15, 17, 30, 47, 60, 61, 68
6	18, 46
7	19
8	20, 21, 22, 39, 70
9	2, 3, 44
10	19, 24, 52, 66, 71
11	36, 40, 50, 51, 61

จาก R.M. Twedt (1989)

ตารางที่ 1.4 ส่วนประกอบของอาหารเลี้ยงเชื้อ Wagatsuma (Wagatsuma, 1968)

Yeast extract	5.0	g
Peptone	10.0	g
Mannitol	5.0	g
K <sub>2</sub> HPO <sub>4</sub>	5.0	g
NaCl	70.0	g
Agar	15.0	g
dH <sub>2</sub> O	1.0	L

ปรับ pH เป็น 7.5 เติมน้ำเกลือ 5% defibrinated ของกรรไกรตัดขนสัตว์ ฝรั่งเซลล์ เม็ดเกลือ อดแล้ วงใน  
อาหารเลี้ยงเชื้อที่ sterile แล้ว

### 1.2.2.3.2 Thermostable direct hemolysin-related hemolysin

พบครั้งแรกในปี ค.ศ. 1985 จากการระบาดของโรคฉี่หนูในเกาะ Maldives มีรายงานผู้ป่วยที่ ออร์ วงจากการรั บประทานทะเล จาก การแยกเชื้อ อีนผู้ ป่วย 51 ราย พบว่า เชื้อ ที่ แยกได้ จากผู้ (1986) เป็น สายพันธุ์ และ ให้ ผลลบจากการทำ colony hybridization โดยใช้ *tdh* probe เป็น ้นั้ วดตรวจจ้ บ (Honda, 1987; Honda *et al.*, 1988) จากการที่ ษาพบว่า สายพันธุ์ ดั้ งกล่ าวสามารถผลิต hemolysin ใหม่ ซึ่ ื่อว่า thermostable direct hemolysin-related hemolysin (TDH) ซึ่ ึ่งมีคุณสมบัติ ทางภูมิ คุ้ม กั้ น ทาง พิ ลี กัส เคมีและทางชีววิ ทยาคลั าย TDH โดยสามารถทำให้ เมื่ ึ่งคั้งคั้งข้างชนิดแตก เช่น วั ว ไก่ ะกะ ทำให้ สั ตว์ ทดลองตาย (Honda 1988) มีผลต่ อกลั ามเนื้อ อห้ ัวใจเพื่ ้มการซึ ่มผ่าน ของของเหลวออกจากหลอดเลือด อคบริ เวณผิ วหนัง และทำให้ เกิดอาการในลำ ใส้ (Honda *et al.*, 1988; Honda *et al.*, 1990; Ming *et al.*, 1994) จากการที่ ษา *V. parahaemolyticus* สายพันธุ์ ที่ แยกได้ จากผู้ ป่วยสั วนนี้ อยจะให้ K<sup>+</sup> และ TRH

TRH เป็น homodimer protein ที่ ประกอบด้ วยกรดอะมิ โน 189 มี ้นั้ ำหนัก โมเลกุล 48 kDa ประกอบด้ วย 2 หน่วย วยย่อยที่ เหมือนกัน แต่ ละหน่วย าย 23 kDa ถูกทำ ลาย ด้ วยความร้อน 60 องศาเซลเซียส นาน 10 นาที ควบคุมการสั วยใน *trh* ซึ่ ึ่งมีลั ำดับ านิ วคลีโอไทด์ เหมือนกัน *trh1* 68.4% และ *trh2* 68.6% โดยความแตกตั ่างของลั ำดับ เบสจะกระจายตลอดทั้ ัว ทั้ ึ่งจีน จากการที่ ษาพบว่า ลั ำดับ กรดอะมิ โนของ TDH และ TRH ซึ่ ึ่งมีขั ้วกัน และมี cysteine 2 ตั้ วยอยู่ ะบริเวณ interchain bond ซึ่ ึ่งเป็น ะบริเวณของทั้ ึ่ง TDH และ TRH (Nishibuchi *et al.*, 1989) เชื้อ ื่อ *tdh* และ *trh* มาจากบรรพบุ ษย์เดียวกันในชั ้ววงรี ่มต้น ของ วิ วั ฒนาการและจีนนี้ ตั้ วดัด วนนี้ ึ่งหรือ ทั้ ึ่งสองจีนก็ ็น ึ่งถูกกั ำหนด (Sill *et al.*, 1990; Kishishita *et al.*, 1992) *trh* แบ่ง เป็น 2 ชนิด คื ือ *trh1* และ *trh2* ซึ่ ึ่งมีลั ำดับ านิ วคลีโอไทด์ เหมือนกัน 84% (ตารางที่ 1.5) ลั ำดับ านิ วคลีโอไทด์ และ *trh2* ที่ ตั้ ่างกัน อย่ ำงซึ่ ุดเจนคือ 6-20 bases ระหว่าง ลั ำดับ านิ วคลีโอไทด์ 205-224 และ 8-20 bases ระหว่าง ลั ำดับ านิ วคลีโอไทด์ 440-459 และมีบริเวณที่ ็น conserved sequence ของทั้ ึ่งสองจีนคือ 220-230 ระหว่าง ลั ำดับ านิ วคลีโอไทด์ 387-406 *trh1* แสดง hemolytic activity ตั้ ้อเมื่ ึ่งคั้งคั้งของคน กระตั ำยและวั ว ในขณะที่ *trh2* แสดง weak hemolytic activity ตั้ ้อเมื่ ึ่งคั้งคั้งของคน ตั้ ำยและจะไม่ ึ่งแสดง hemolytic activity เมื่ ึ่งลดเปอร์ เซ็นต์ เมื่ ึ่งคั้งคั้งลดจาก 5% ถึง 21% *trh1* จะรุนแรงและมีระดับ การแสดงออกมากกว่า *trh2* จากการที่ ษา hybridization โดยใช้ oligonucleotide probe พบว่า ามีความ หลากหลายของ *trh1* และ *trh2* ใน *V. parahaemolyticus* แต่ละสายพันธุ์ โดยการกระจายตั ้วของจีน *trh* มีมากกว่า จีน *tdh* จากเหตุผลด้ ำงกล่ าวเมื่ ึ่งทำ การตรวจหา TRH ด้ วย polymerase chain reaction (PCR) โดยวิธี



ELISA จะตรวจพบในสายพันธุ์ ที่ มีเงินเพียง 37.5% (Kishishita *et al.*, 1992) การแสดงออกของ *trh1* นี้ อยกว่า *tdh* ใน *V. parahaemolyticus* สายพันธุ์ K (Shirai *et al.*, 1990) และการแสดงออกของ *trh1* ไม่ ขึ้นกับ *-ToxRS* (Lin *et al.*, 1993) เชื้อ อื่นในสกุล *Vibrio* เชื้อ อื่นในสกุล *cholerae* O1 and non O1 *V. minicus* *V. metchnikovii* *V. fluvialis* และ *V. furnissii* จำนวน 113 สายพันธุ์ ได้ นำ มาทดสอบ hybridization โดย *trh1* และ *trh2* probe ปรากฏว่า ไม่ สามารถตรวจพบเงินที่ ึ่งสอง ความสัมพันธ์ ระหว่าง การมีเงิน จะพบเฉพาะใน *V. parahaemolyticus* แต่ จากการศึกษากายสกุล *Vibrio* ที่ แยกได้ จากหอยนางรม Alaska พบเงินที่ คล้ายใน *V. alginolyticus* จากการ clone และ sequence พบว่า เงินจะคล้าย *trh2* ของ *V. parahaemolyticus* ถึง 98% (Gonzalez-Escalona *et al.*, 2006) Kishishita และคณะได้ ศึกษาการกระจายของเงิน *trh1* และ *trh2* ใน *V. parahaemolyticus* 285 สายพันธุ์ ที่ แยกจากผู้ ป่วย และ 71 สายพันธุ์ จากสิ่งแวดล้อมโดย hybridization พบว่า สายพันธุ์ ที่ แยกได้ จากผู้ ป่วย 112 สายพันธุ์ ึ่งเงิน (39.3%) 17 สายพันธุ์ *trh1* ึ่งเงิน (6.0%) 35 สายพันธุ์ *trh2* ึ่งเงิน (12.2%) 22 สายพันธุ์ มีทั้ง *trh1* และ *trh2* (7.7%) 2 สายพันธุ์ มีทั้ง *trh1* และ *trh2* (0.7%) และ 26 สายพันธุ์ ตรวจไม่ พบที่ ึ่งเงิน (9.1%) ส่วนสายพันธุ์ ที่ แยกจากสิ่งแวดล้อม 66 สายพันธุ์ ตรวจไม่ พบที่ ึ่งเงิน (9.1%) 5 สายพันธุ์ ตรวจพบ *trh2* (7.0%) ทำให้ สรุปได้ว่า เงิน *trh1* และ *trh2* เป็น ปัจจัย สำคัญ ในการก่อ อโรคของ *parahaemolyticus*

มีการศึกษาความสัมพันธ์ ระหว่าง การสร้าง เอนไซม์ urease ใน *parahaemolyticus* นี้ ึ่งเงิน โดยที่ *V. parahaemolyticus* ไม่ สามารถสร้าง เอนไซม์ urease ได้ Sakazaki และคณะรายงานว่า มีเงินเพียง 4% ของ *V. parahaemolyticus* ที่ สร้าง เอนไซม์ นี้ ได้ (Sakazaki *et al.*, 1963) *V. parahaemolyticus* ที่ แยกได้ จากผู้ ป่วย และสิ่งแวดล้อม สามารถสร้าง เอนไซม์ urease แต่ ให้ Kelly and Stroh, 1989; Kaysner *et al.*, 1990) ซึ่ง ึ่งเงินหลัก ึ่งพบใน *parahaemolyticus* สายพันธุ์ ที่ มีเงินสามารถสร้าง เอนไซม์ urease ได้ จากการศึกษ *parahaemolyticus* ของ โรงพยาบาลบ าราศนราคร ในปี ค.ศ. 1990-1991 จำนวน 489 สายพันธุ์ พบ *parahaemolyticus* จำนวน 8% สามารถสร้าง เอนไซม์ urease และทุกสายพันธุ์ ึ่งเงิน urease จะมีเงิน *trh* ในทางกลับกัน สายพันธุ์ ที่ ไม่ สร้าง เอนไซม์ urease ึ่งเงิน และเงินที่ แยกได้ จากสิ่งแวดล้อม ให้ ผลเช่นเดียวกัน (Sudhakar 1995) นอกจากนี้ ย ึ่งเงินงานวิจัยที่ ึ่งได้ ทำการศึกษา *V. parahaemolyticus* สายพันธุ์ ที่ สร้าง เอนไซม์ urease จากผู้ ป่วย และสิ่งแวดล้อม We ของสหรัฐอเมริกา ระหว่าง ปี ค.ศ. 1979-1995 เพื่อ อดตรวจหาเงิน และ *trh2* ใน *V. parahaemolyticus* สายพันธุ์ ที่ สร้าง เอนไซม์ urease จำนวน 60 สายพันธุ์ (54/60) มีเงิน *trh1* หรือ *trh2* และ 90% (54/60) มีเงิน *tdh* ส่วน *V. parahaemolyticus* สายพันธุ์ ที่ ไม่ สร้าง



ตารางที่ 5 ความเหมือนของลำดับ nucleotide เปรียบเทียบกับ จีโนมอื่น ๆ

Gene	Origin	Reference (GenBank Accession no.)	% Homology with The <i>trh 2</i> gene
<i>trh 2</i>	<i>V. parahaemolyticus</i> AT4, chromosome	This study (M88112)	100
<i>trh 1</i>	<i>V. parahaemolyticus</i> AQ4037, chromosome	27	84.0
Vp- <i>tdh 1</i>	<i>V. parahaemolyticus</i> WPI, chromosome	23, 33 (M10069)	68.5
Vp- <i>tdh 2</i>	<i>V. parahaemolyticus</i> WPI, chromosome	24	68.8
Vp- <i>tdh 3</i>	<i>V. parahaemolyticus</i> AQ3776, chromosome	24	68.3
Vp- <i>tdh 4</i>	<i>V. parahaemolyticus</i> AQ3776, plasmid	24	69.0
Vp- <i>tdh 5</i>	<i>V. parahaemolyticus</i> S19, chromosome	2	69.1
<i>tdhA</i>	<i>V. parahaemolyticus</i> T4750, chromosome	11 (D90100)	68.8
<i>tdhS</i>	<i>V. parahaemolyticus</i> T4750, chromosome	11 (D90101)	68.6
Vm- <i>tdh</i>	<i>V. mimicus</i> 6, chromosome	34 (M64120)	68.2
NAG- <i>tdh</i>	<i>V. cholerae</i> non-01 91, plasmid	1 (M55316)	68.8
Vh- <i>tdh</i>	<i>V. hollisae</i> 9041, chromosome	37 (M57900)	54.8

(Kishishita *et al.*, 1992)

#### 1.2.2.4 จีโนม *toxR*

*toxR* เป็นยีนที่ถูกอนุรักษ์ไว้ (conserved sequence) ในวงศ์ *Vibrionaceae* พบครั้งแรกใน *V. cholerae* โดยทำหน้าที่ควบคุมการทำงานของ cholera toxin และต่อมามีบทบาทในการควบคุมการทำงานของยีนอื่น ๆ อีกหลายชนิด คือ *ctxA* gene, *OmpT* gene และ *OmpU* gene (Miller *et al.*, 1987; Miller *et al.*, 1989; Dirita, 1992) โดยยีน *toxR* ทำหน้าที่กระตุ้นการถอดรหัสของยีนก่อความรุนแรงของโรค โดยสร้างโปรตีน *toxR* ไปจับกับลำดับเบสที่บริเวณ upstream ของ promoter ของยีนก่อความรุนแรงของยีน (Miller *et al.*, 1987; Lin *et al.*, 1993) นอกจากนี้ ยังพบยีน *toxR* ใน *V. mimicus* *V. alginolyticus* *V. fisheri* *V. parahaemolyticus* *Photobacterium damsela* subsp. *damsela* และ *P. damsela* subsp. *piscicida* (Lin *et al.*, 1993; Reich and Schoolnik, 1994; Kim *et al.*, 1999; Osorio and Klose, 2000) จากการศึกษายพบว่า *toxR* เป็น integral membrane protein ที่มีขนาด 32 kDa ประกอบด้วย 3 domain คือ N-terminal cytoplasmic DNA-binding domain central transmembrane domain และ C-terminal periplasmic domain (Miller *et al.*, 1987) ต่อมามีการพบยีน *toxS* บริเวณ *toxR* operon ทำหน้าที่ร่วมกับ *toxR* ใน

การกระตุ้นการถอดรหัสของยีนที่ อกความรุนแรงของโรคของ *V. cholerae* (Miller *et al.*, 1989) นอกจากนี้ ยีน *toxR* และ *toxS* ใน *V. parahaemolyticus* ทำงานร่วมกันเพื่อกระตุ้นการแสดงออกของยีน *tdh* มีรายงานว่า *toxR* เกี่ยวข้องกับการควบคุมการถอดรหัสและกระตุ้นการแสดงออกของยีน *tdh* ในปริมาณที่สูงซึ่งแตกต่างกับผลนี้ แสดงให้เห็นว่า *toxR* กระตุ้นการแสดงออกของ *tdh2* สามารถพบยีนที่ *toxR* และ *toxS* ในทุกสายพันธุ์ที่อยู่ในผู้ป่วยและสิ่งแวดล้อมโดยจีน และ *toxS* ใน *V. parahaemolyticus* เหมือนกับ *toxR* และ *toxS* ใน *V. cholerae* 52% และ 62% ตามลำดับ (Lin *et al.*, 1993) นอกจากนี้ ยังพบยีน *toxR* และ *toxS* ใน *Vibrio* อื่นๆ อีกโดย *toxR* และ *toxS* ของ *V. fisheri* เหมือนกับ *toxR* และ *toxS* ใน *V. cholerae* 43% และ 42% ตามลำดับ และ *toxR* ของ *V. alginolyticus* และ *G. hollisae* เหมือนกับ *toxR* ของ *V. cholerae* 59% และ 61.7% ตามลำดับ (Reich and Schoolnik, 1994) การเปรียบเทียบ 16s rRNA แทน *toxR* ใน *V. parahaemolyticus* กับ *V. cholerae* และ *V. alginolyticus* พบว่า จะคล้ายกัน 92% และมากกว่า 99% ตามลำดับ และถ้าใช้ *toxR* พบว่า *V. parahaemolyticus* จะ เหมือนกับ *V. alginolyticus* 86.8% (Kim *et al.*, 1999) *toxR* และ *toxS* ของ *V. vulnificus* เหมือนกับ *toxR* และ *toxS* ของ *V. cholerae* 55% และ 71.5% ตามลำดับ (Lee *et al.*, 2000) *toxR* ของ *V. harveyi* เหมือนกับ *toxR* ของ *V. parahaemolyticus* 87% *V. fluvialis* 84% และ *V. vulnificus* 89% ตามลำดับ และมีบางส่วนที่ คล้ายกับ *V. campbellii* การศึกษา phylogenetics diagram โดยการใส่ *toxR* พบว่า สามารถแยก *V. harveyi* ออกจาก *V. parahaemolyticus* และ *V. campbellii* ได้ โดย (Branco and Hedreya, 2006) มีการใช้ *toxR* เป็นเครื่องหมายในการบ่งชี้ *V. parahaemolyticus* โดยวิธี PCR ซึ่งพบว่า ให้ผลที่ ถูกต้องและแม่นยำ และรวดเร็ว (Kim 1999; Uddhakul *et al.*, 2000)

#### 1.2.2.5 การก่อโรค

*V. parahaemolyticus* ทำให้เกิดโรคคลื่นไส้ อักเสบ (gastroenteritis) ผู้ป่วยแสดงอาการปวดท้อง อุจจาระร่วง บางครั้ง มีคลื่นไส้ อาเจียน มีไข้ ผู้ป่วยบางราย อุจจาระอาจมี มูกเลือดปน อาการของโรคเกิดขึ้นหลังได้ รับเชื้อ (Barker and Gangarosa, 1974; Sakazaki *et al.*, 1974) มีการทดสอบในกลูทมาสาสมั ครพบว่า ปริมาณเชื้อ  $10^7 - 3 \times 10^7$  CFU สายพันธุ์ *toxR* ทำให้เกิดโรคคลื่นไส้ อักเสบอย่างรวดเร็ว ในทางตรงกันข้ามเชื้อ  $1.6 \times 10^8$  CFU สายพันธุ์ *toxR* ไม่มีอาการท้องเสีย (Sanyal and Sen, 1974; Oliver and Kapper, 1997) โดยพบว่า ผู้ป่วยมากกว่า 90% มีอาการอุจจาระร่วง 82% ปวดท้อง 71% และ 52% อาเจียน (Barker and Gangarosa, 1974) อาการมักปรากฏหลังจากที่เชื้อเข้าไป 12 ถึง 46 ชั่วโมง บางรายแสดงอาการภายใน 4 ถึง 74 ชั่วโมง ขึ้นอยู่กับปริมาณเชื้อ และระดับภูมิคุ้มกันของผู้ป่วย และขึ้นอยู่กับ



*parahaemolyticus* ซีโรไทป์ O3:K6 เพิ่มขึ้นเป็น 50% และเพิ่มสูงที่สุดในปี 2008 83.3% ต่อจากนั้นได้ลดลงในปี ค.ศ. 1998 และ 1999 แต่ยังคงมีปริมาณสูงและ 61.3% ตามลำดับ (Chiou *et al.*, 2000) สำหรับในประเทศไทยจากการแยกเชื้อ *parahaemolyticus* จากผู้ป่วยในโรงพยาบาลสงขลานครินทร์ จังหวัดสงขลา ในปี ค.ศ. 1998 จำนวน 23 สายพันธุ์ พบซีโรไทป์ O3:K6 จำนวน 20 สายพันธุ์ (Vuddhakul *et al.*, 2000) นอกจากนี้ในประเทศในแถบทวีปเอเชียแล้ว ในปี ค.ศ. 1998 *parahaemolyticus* ซีโรไทป์ O3:K6 ยังได้แพร่ระบาดไปถึงประเทศสหรัฐอเมริกา ใน Long Island, Sound, Connecticut, New Jersey และ New York จากการศึกษายทางพันธุกรรมโดยวิธี AP-PCR, PFGE และ ribotyping พบว่าเชื้อ *parahaemolyticus* ซีโรไทป์ O3:K6 ที่ระบาดไปทั่วโลกมาจากแหล่งกำเนิดในอินเดีย (Okuda *et al.*, 1997; Chowdhury *et al.*, 2000; Chowdhury *et al.*, 2000; Vuddhakul *et al.*, 2000) แม้แต่ในประเทศไทยซึ่งครั้งแรกในปี ค.ศ. 2004 ไม่พบเชื้อนี้ ต่อมาเนื่องจากอุณหภูมิของน้ำทะเลไม่สูง แต่ในปี ค.ศ. 2005-2006 อนุญาตให้ น้ำทะเลมีอุณหภูมิสูงขึ้น สายพันธุ์ที่ระบาดก็เปลี่ยนเป็น O3:K6 และเป็นที่ระบาดทั่วโลก พบว่า ในอาหารประเภทมีเปลือกหอยเช่น หอยกุ่ม พบเชื้อ *parahaemolyticus* สูงถึง 53% (Fuenzalida *et al.*, 2006)

ต่อมาในปี ค.ศ. 1998 ในเมือง Catcutta ประเทศอินเดีย แยกเชื้อ *parahaemolyticus* ซีโรไทป์ O4:K68 และ O1:KUT ระบาดร่วมกับซีโรไทป์ O3:K6 ซึ่งลักษณะรูปแบบของแถบดีเอ็นเอ โดยวิธี AP-PCR PFGE และ Ribotyping พบว่าทั้งสามซีโรไทป์มีลักษณะของรูปแบบของแถบดีเอ็นเอที่คล้ายคลึงกัน แต่ none of the O4:K68 ให้รูปแบบของแถบดีเอ็นเอที่ต่างกัน แสดงว่าสายพันธุ์ที่มีการระบาดครั้งนี้น่าจะเกิดจากแหล่งกำเนิดที่ต่างกัน สายพันธุ์ที่ไม่มีการระบาด (Chowdhury *et al.*, 2000; Matsumoto *et al.*, 2000; Nair *et al.*, 2007) ในประเทศไทยมีการระบาดของซีโรไทป์ O4:K68 ร่วมกับซีโรไทป์ O3:K6 เช่นกัน แต่ไม่มีรายงานของซีโรไทป์ O1:KUT ซึ่งซีโรไทป์ O4:K68 และ O3:K6 ดังกล่าวแยกมาจากผู้ป่วยในโรงพยาบาลนคราฐ จากการทำการ RFLP (Restriction Fragment Length Polymorphism) และ PFGE พบว่าทั้งสองซีโรไทป์มาจากแหล่งเดียวกัน O3:K6 ในประเทศอินเดีย (Chowdhury *et al.*, 2000; Rahman *et al.*, 2006)

จากการศึกษาเพื่อแยกความแตกต่างของ *parahaemolyticus* ซีโรไทป์ O3:K6 สายพันธุ์ที่พบในปี ค.ศ. 1996 และสายพันธุ์ที่พบก่อนปี ค.ศ. 1996 โดยใช้วิธี AP-PCR, AFLP, PFGE และ ribotyping เป็นวิธีที่ยู่งยากซับซ้อนต้องอาศัยบุคลากรที่มีความชำนาญไม่เหมาะต่อการศึกษานับว่าอุปสรรคมากมาย ดังนั้น Matsumoto และคณะ (2000) ผนวกการตรวจสอบ

เพื่อหาความแตกต่างของจีนส์ของ *S. aureus* ทำให้แยกกลุ่มเชื้อโรทัยป์ O3:K6 สายพันธุ์ที่พบในปี ค.ศ. 1996 และเชื้อโรทัยป์อื่นที่มาจากแหล่งกำเนิดเดียวกันได้อีก นอกจากนี้ยังพบอีกในปี 1996 เรียกวิธีการตรวจสอบนี้ว่า Group Specific-Polymerase Chain Reaction (GS-PCR) ซึ่งจากการทำ GS-PCR ดังกล่าวพบ *S. parahaemolyticus* เชื้อโรทัยป์ O3:K6, O4:K68 และ O1:KUT ที่ระบาดในประเทศไทยต่าง ๆ มาจากแหล่งกำเนิดเดียวกัน

### 1.2.3 วิธีทางชีวโมเลกุลที่ใช้ในการศึกษาความแตกต่างสายพันธุ์ของแบคทีเรีย

#### 1.2.3.1 ปฏิกรณ์พอลิเมอร์เชน (Polymerase chain reaction : PCR)

ปฏิกรณ์พอลิเมอร์เชน (Polymerase chain reaction) เป็นเทคนิคการเพิ่มปริมาณจีน (gene) หรือชิ้นส่วนของดีเอ็นเอเฉพาะบริเวณที่สนใจให้มีจำนวนมากขึ้นกว่าเดิมหลายล้านเท่าในหลอดทดลอง ค้นพบครั้งแรกโดย Kary Mullis ในปี ค.ศ. 1983 โดยใช้หลักกลไกของธรรมชาติของกระบวนการจำลองดีเอ็นเอ (DNA replication) ในเซลล์ของสิ่งมีชีวิต การสังเคราะห์สายดีเอ็นเอขึ้นใหม่ด้วยดีเอ็นเอเทมเพลตแบบเป็นจุดเริ่มต้นโดยอาศัยดีเอ็นเอสายสั้นๆ หรือ oligonucleotide primer และเอนไซม์ DNA polymerase ซึ่งช่วยต่อสายดีเอ็นเอโดยเติบอจันเบอนิวคลีโอไทด์ ได้แก่ dATP, dCTP, dTTP และ dGTP เข้ามาต่อให้เป็นเบสคู่สมกับดีเอ็นเอสายที่ขยับได้ ดีเอ็นเอสายใหม่เกิดขึ้นเมื่อทำเช่นนี้หลายรอบจะได้ปริมาณดีเอ็นเอเพิ่มมากขึ้น ประสิทธิภาพสูงสุดของปฏิกรณ์พอลิเมอร์เชน PCR ได้แก่ ดีเอ็นเอเทมเพลตที่ได้จากตัวอย่างที่ตัดองค์การที่ primer oligonucleotide ที่อนสั้น ๆ ขนาดประมาณ 18-30, deoxynucleotide triphosphate (dNTPs), thermostable DNA polymerase และ buffer ที่เหมาะสม ปริมาณดีเอ็นเอจะเพิ่มมากขึ้นอย่างรวดเร็ว ปฏิกรณ์พอลิเมอร์เชนที่เกิดขึ้นนี้เองซ้ำกันหลายรอบซึ่งแต่ละรอบจะประกอบด้วย 3 ขั้นตอนคือ

1. Denaturation เป็นขั้นตอนการคลายเกลียวของดีเอ็นเอคู่ ออกเป็นเส้นเดี่ยว โดยอาศัยความร้อนที่อุณหภูมิ ประมาณ 90-95 องศาเซลเซียส

2. Annealing เป็นขั้นตอนที่ primer เข้าไปจับกับดีเอ็นเอบริเวณที่มีเบสคู่สม โดยทั่วไปใช้ อุณหภูมิ annealing ต่ำกว่าค่าอุณหภูมิแยกกัน (melting Tm) ของ primer ประมาณ 5-10 องศาเซลเซียส

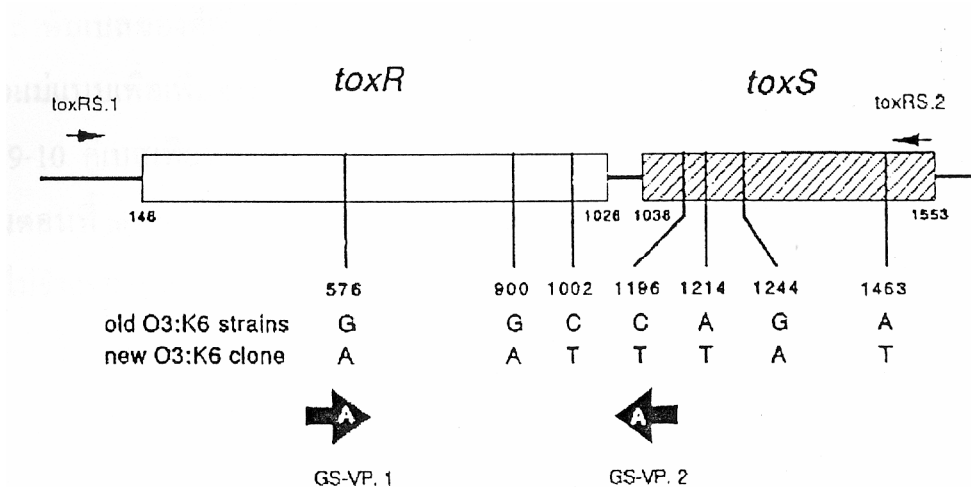
3. Extension เป็นขั้นตอนการขยายสายดีเอ็นเอ โดยการต่อบเบสเข้าที่ปลาย 3' ของ primer และมีการขยายสายดีเอ็นเอสายใหม่จากทิศทางไปทาง 3' โดยอาศัยเอนไซม์ thermostable DNA polymerase ซึ่งอุณหภูมิปกติ ประมาณ 70 องศาเซลเซียส

เมื่อทำซ้ำขั้นตอนดังกล่าวซ้ำจำนวนหลายรอบทำให้สามารถเพิ่มขนาดของผลิตภัณฑ์ PCR ได้มากขึ้น (2<sup>n</sup> จำนวนรอบ) จากนั้นวิเคราะห์ผลิตภัณฑ์โดยนำผลิตภัณฑ์ PCR ที่ได้มาแยกด้วยเทคนิคของใช้กระแสไฟฟ้าแยกดีเอ็นเอบน agarose gel หรือ polyacrylamide gel เปรียบเทียบกับดีเอ็นเอมาตรฐานที่ทราบขนาดความยาวที่แน่นอน จากนั้นใช้ย้อมสีด้วย ethidium bromide แล้วไปส่องดูด้วยแสงอุตราไวโอเลต (สุริ นทร์ ปิยะโชคคณากุล)

### 1.2.3.2 Group Specific-Polymerase Chain Reaction (GS-PCR)

การตรวจสอบสายพันธุ์ของ *V. parahaemolyticus* ที่แยกได้ว่าเป็นสายพันธุ์ที่มาจาก pandemic strain หรือไม่ ด้วยวิธี GS-PCR เป็นปฏิบัติที่นิยมใช้เพื่อวิธีการตรวจสอบความแตกต่างของ *toxRS* ของ *V. parahaemolyticus* ซีโรไทป์ O3:K6 สายพันธุ์ใหม่ที่กำลังมีการระบาดและเปลี่ยนไปจากซีโรไทป์ O3:K6 เดิม ซึ่ง *toxR* และ *toxS* อยู่ในตำแหน่งของ *toxRS* operon จากการหาลำดับเบส (DNA sequencing) ของ *toxR* และ *toxS* ซึ่งมีขนาด 1364 คู่เบสของ *V. parahaemolyticus* ซีโรไทป์ O3:K6 สายพันธุ์ pandemic strain พบว่าลำดับของสายพันธุ์ดังกล่าว 7 ตำแหน่งต่างจากสายพันธุ์ O3:K6 ที่ 1196 คือมีตำแหน่งที่ 576 900 1002 1196 1214 1244 และ 1463 (รูปที่ 1.1) จากลำดับเบสคือ G G C C A G และ A เปลี่ยนเป็นเบส A A T T T A และ T ตามลำดับ Matsu (2000) ได้ออกแบบ primer GS-VPI ซึ่งมีลำดับเบส 5'-ATGAGGTAGAAACA-3' ครอบคลุมลำดับเบสในตำแหน่งที่ 576 และ primer GS-VP2 ซึ่งมีลำดับเบส 5'-ACGTAACGGCCTACA-3' ครอบคลุมลำดับเบสในตำแหน่งที่ 1196 ซึ่งขนาดของผลิตภัณฑ์ที่ได้จากการทำ GS-PCR มีขนาด 630 bp ให้แยกความแตกต่างของ *V. parahaemolyticus* ซีโรไทป์ O3:K6 pandemic strain ออกจากซีโรไทป์อื่น





รูปที่ 1.1 ตำแหน่งของ primer (GS-V.P.1 และ GS-V.P.2) ที่อยู่ในของยีน *toxR* และ *toxS* ในการทำ GS-PCR และลำดับเบสที่เปลี่ยนแปลงใน *V. parahaemolyticus* ซีโรทัยป์ O3:K6 สายพันธุ์เก่า และสายพันธุ์ใหม่ (ที่มา : Matsumoto et al., 2000)

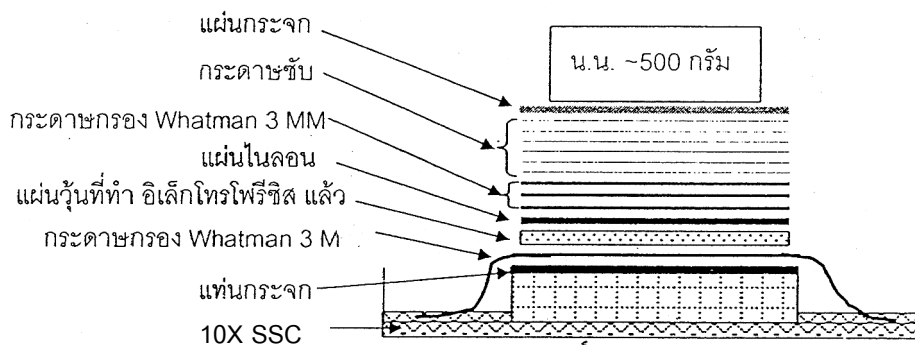
นอกจากวิธี GS-PCR ซึ่งเป็ นวิธีการตรวจสอบเบ้ ้องค์ ในโมเลกุลเด่ กางของ *V. parahaemolyticus* สายพันธุ์ ใหม่ ที่ ก่ ลั งรบาด ย้ งมีการศึ กษาโดยพิ มพ์ ดีเอ็น เอแยกเด่ กางของ *V. parahaemolyticus* แต่ ละสายพันธุ์ ที่ ระบาดในประเทศต่ างๆ โดยการใช้ เทคนิค AFLP, ribotyping, AP-PCR และ PFGE ซึ่ง วิ ธี AP-PCR และ PFGE เป็ นวิ ธีที่ ใช้ ในการศึ กษาโดยพิ มพ์ ดีเอ็น เอของ *parahaemolyticus* อยู่ างแพร่ หลาย (Wong et al., 1996; Chowdhury et al., 2000; Chowdhury et al., 2000; Matsumoto et al., 2000; Vuddhakul et al., 2000)

### 1.2.3.2 Arbitrarily Primed Polymerase Chain reaction (AP-PCR)

Arbitrarily Primed PCR (AP-PCR) หรือ Random Amplified Polymorphic DNA (RAPD) เป็ นเทคนิคการศึ กษาความผันแปรดีเอ็น เอของสิ่งมีชีวิตใด ๆ หนึ่งชนิดโดยวิธี PCR เพื่อ ให้ ได้ สายพันธุ์ ดีเอ็น เอโดยการใช้ primer ประมาณ 10 bp และเป็ นชนิดสุ่ม (random primers หรือ universal primers) หนึ่ง นล่ วงของดีเอ็น เอในสภาวะ low stringency คือ มีอุณหภูมิ annealing ต่ อยู่ ในช่วง 36-40 องศาเซลเซียส และมีปริ มานของ MgCl<sub>2</sub> มากกว่า หรือ เท่า กั บ 2 mM ทำ ให้ primer สามารถจับกับดีเอ็น เอทั้งสองสายได้ หลายตำแหน่ง ในจีโนมอาจจะมึ หลายบริเวณที่ ไพรมเมอร์ เข้าไปเกาะได้ ถ้า ไพรมเมอร์ไปเกาะได้ ในบริเวณที่ ห่ างไกลกั นมากๆ หรือ ในทิศทางเดียวกัน นล่ วงจากที่ มา เดี่ ยวกัน แต่ ถ้าไปเกาะ



บัฟเฟอร์ที่เข้มข้น (รูปที่ 1.2) และวางแผ่นกรองไนโตรเซลลูโลสและ gel อีกทีหนึ่ง จากนั้นวางที่ บด ้วยกระดาษกรองและใช้น้ำหนักที่ บบนกระดาษกรองที่กระดาษแผ่น agarose gel และย้ายแถบดีเอ็นเอเหล่านี้ ซึ่งอยู่ในสภาพสายเดี่ยว ไปขึ้นไนโตรเซลลูโลส จากนั้น นำแผ่นกรองไนโตรเซลลูโลสไปทำปฏิกิริยาที่ บโพรบ (hybridization) คลากด้วย DIG แล้วนำไปตรวจสอบผลบวกโดยนำมาทำปฏิกิริยาที่ บแอนติ บอดี DIG ที่ เติมน้ำอยู่ปฏิกิริยาสุดท้าย เติมน้ำ substate ไปทำปฏิกิริยาที่ บแอนติ บอดีที่ ำปรากฏเป็น แถบของดีเอ็นเอที่ โพรบเข้าไปจับ ดีเอ็นเอที่มีเบสเป็น คู่ สมกั น (รูปที่ 1.3) (ประดิษฐ์ภาพของ



รูปที่ 1.2 เทคนิค เซาเทอร์ นบลอตติง

การดี คลากกรณี ุคส์อีก หรือ โพรบ (probe)

เมื่อ คดี ออกดีเอ็นเอหรือ อาร์ เอ นเอที่ จะใช้ เป็น ะดับของดีเอ็นเอที่ คลาก เพื่อ อการดี ตามในขั้น ันต์ ่อไป การดี คลากอาจจะใช้ สารกั radioactive labels หรือ อดี คลากโดยใช้ สารปลอดรังสี (non-radioactive labels) ที่ ได้ใช้การที่ จะใช้ ดี คลากจะคล้า ยคลี ังกั น มีหลายวิ ธี เช่น random primer หรือ nick translation

วิ ธี random primer โดยนำ ดีเอ็นเอที่ ัด อการดี คลากมาตี ยสภาพเป็น สายเดี่ยว แล้ว ใช้ ไพรมเมอร์ ที่ มีความยาวเพียงหกนิ ุคส์โอไทด์ และมีการเรียง สดบอยสุ่ ม (random primer) ให้ เข้าไปจับ บกั บดีเอ็นเอสายเดี่ยวนี้ ันแล้ว ใช้ เอนไซม์ที่ ำให้การสังเคราะห์ ดีเอ็นเอสายใหม่ โดยใส่ นิ ุคส์โอไทด์ ที่ ดี คลากลงไป วิ ธีนี้ มีผู้ ันจุมบใช้ ไพรมเมอร์ ที่ ใช้ เพื่ มขนาดความยาวเป็น 9 นิ ุคส์โอไทด์

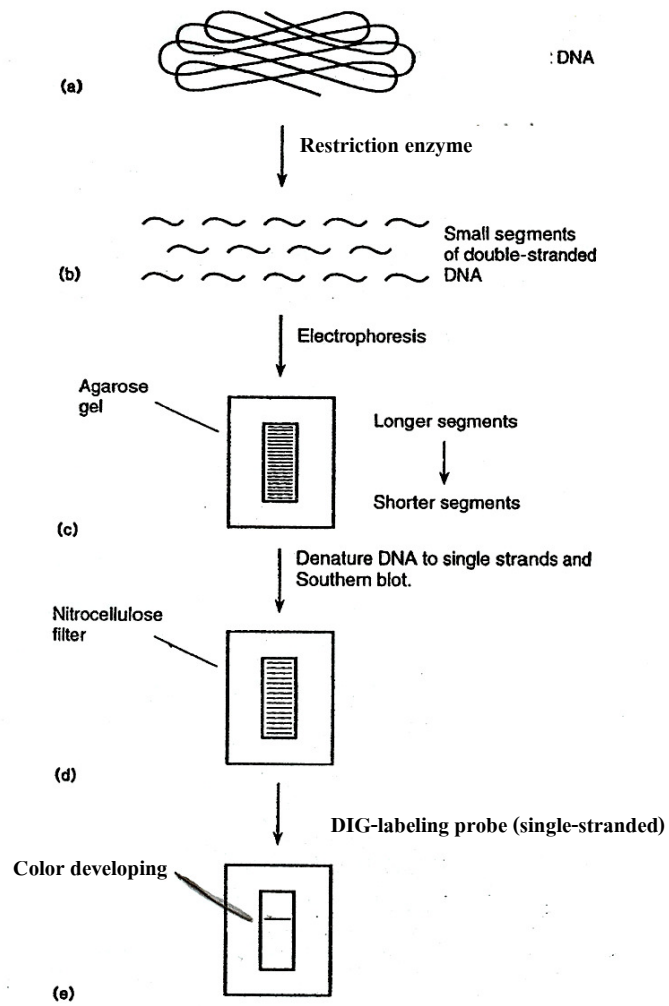
อีกวิธีที่นิยมมากคือ nick translation (Rigby และคณะ) โดยใช้ เอนไซม์

*E. coli* DNA polymerase I ร่วมกับ เอนไซม์ DNase เอนไซม์ DNase ทำให้ เกิดรอยขาดแบบสุ่มใน โมเลกุลของดีเอ็นเอ และเอนไซม์ DNA polymerase I ซึ่ง จะเติมสมบัตินิวคลีโอไทด์ 3' exonuclease ตัด นิวคลีโอไทด์ ออกจากปลาย ขณะเดียวกัน ก็ ใช้ เอนไซม์ DNA polymerase I เติม นิวคลีโอไทด์ ตัวยุติที่ ปลายของรอยขาด จึงมีการแทนที่ นิวคลีโอไทด์ เดิม ด้วย นิวคลีโอไทด์ ชนิดที่ต้องการได้ สาย ดีเอ็นเอที่ ติดฉลากในบางตำแหน่ง ใช้ เป็น โพรบต่อไป

การติดฉลากโดยใช้ สารปลดครึ่งสี

สารที่นำมาใช้ ติดฉลากแทนสารกึ่งสี มี ๓ ชนิด ดังนี้

1. สารที่ไปติดกับไบโอติน (biotin) ของไปโอดีน, digoxigenin, fluorescein
2. สารเหล่านี้ จะใช้ ติดฉลากโดย ทำให้ อยู่ในรูปของอนุพันธ์ ของนิวคลีโอไทด์ ก่อน เช่น dUTP, digoxigenin-dUTP หรือ fluorescein-dUTP แล้วเติมเข้าไปในสายดีเอ็นเอหรือ ออร์โธโรสเอนไซม์ ต่างๆ ตามวิธี เดียวกัน การใช้ นิวคลีโอไทด์ ที่ ติดฉลากด้วยสารกึ่งสี นี้ มี ๒ วิธี คือ nick translation หรือ random primer เมื่อ ติดฉลากด้วยสารเหล่านี้ แล้ว เวลาที่ ทำการทำให้ ไปโอดีน จะ ตรวจสอบโดยทำให้ เกิดเป็น สารประกอบเชิงซ้อนกับ avidin ที่ เชื่อมอยู่กับ เอนไซม์ สำหรับ digoxigenin หรือ fluorescein จะตรวจสอบโดยทำให้ เกิดเป็น สารประกอบเชิงซ้อนกับแอนติบอดีที่ จำเพาะที่ เชื่อมอยู่กับ เอนไซม์ เนื่องจากปฏิกิริยาของ เอนไซม์ อีกทีหนึ่ง เอนไซม์ ที่ ใช้ กันมากที่สุด คือ alkaline phosphatase ซึ่งทดสอบได้ โดยทำ ปฏิกริยา กับ substrate คือ 5-bromo-4-chloro-3-indolyl phosphate (BCIP) และ nitro blue tetrazolium (NBT) ทำให้ เกิดสารสีฟ้า (ร.ศ. สุรินทร์ พิณอยู่โชค.ศ.2536)



รูปที่ 1.3 การตรวจหาจีโนมด้วยเทคนิค Southern blotting